

**VYSOKÉ UČENÍ TECHNICKÉ V BRNĚ**  
BRNO UNIVERSITY OF TECHNOLOGY



**FAKULTA INFORMAČNÍCH TECHNOLOGIÍ**  
**ÚSTAV POČÍTAČOVÉ GRAFIKY A MULTIMÉDIÍ**

FACULTY OF INFORMATION TECHNOLOGY  
DEPARTMENT OF COMPUTER GRAPHICS AND MULTIMEDIA

## **TUTORIÁL PRÁCE S OPENCV**

TUTORIAL OF OPENCV

**BAKALÁŘSKÁ PRÁCE**

BACHELOR'S THESIS

**AUTOR PRÁCE**

AUTHOR

**LUKÁŠ BĚHAL**

**VEDOUCÍ PRÁCE**

SUPERVISOR

**Ing. VÍTĚZSLAV BERAN**

BRNO 2010

## **Abstrakt**

Tato bakalářská práce se zabývá identifikací a popisem základní činnosti doposud nedokumentovaných metod v knihovně OpenCV. Konkrétně jsou zde popsány algoritmy FAST corner detector, Maximally stable extremal regions, LDetector, HOG people and object detector a One-way descriptor. Každá metoda obsahuje teoretickou část, deklaraci funkcí s popisem jejich parametrů a v neposlední řadě rovněž příklad použití. Pro každou z metod byla také vytvořena vzorová demo aplikace.

## **Abstract**

This bachelor thesis deals with identification and description of undocumented algorithms in OpenCV library. It contains description of FAST corner detector, Maximally stable extremal regions, LDetector, HOG people and object detector and One-way descriptor. Each method description can be divided into parts as: Theory part, declaration of method with arguments description and also code example. Demo application has been created for each of these methods.

## **Klíčová slova**

OpenCV, FAST corner detektor, Maximálně stabilní extrémní regiony, LDetector, HOG detektor osob a objektů, One-way deskriptor

## **Keywords**

OpenCV, FAST corner detector, Maximally stable extremal regions, LDetector, HOG people and object detector, One-way descriptor

## **Citace**

Lukáš Běhal: Tutoriál práce s OpenCV, bakalářská práce, Brno, FIT VUT v Brně, 2010

# Tutoriál práce s OpenCV

## Prohlášení

Prohlašuji, že jsem tuto bakalářskou práci vypracoval samostatně pod vedením pana Ing. Vítězslava Berana.

.....

Lukáš Běhal  
19. května 2010

## Poděkování

Velmi rád bych poděkoval vedoucímu mé bakalářské práce Ing. Vítězslavu Beranovi za odborné vedení, připomínky a cenné rady, které mi během tvorby této práce poskytli.

© Lukáš Běhal, 2010.

*Tato práce vznikla jako školní dílo na Vysokém učení technickém v Brně, Fakultě informačních technologií. Práce je chráněna autorským zákonem a její užití bez udělení oprávnění autorem je nezákonné, s výjimkou zákonem definovaných případů.*

# Obsah

<b>1</b>	<b>Úvod</b>	<b>3</b>
1.1	OpenCV knihovna . . . . .	3
1.2	Cíl práce . . . . .	3
<b>2</b>	<b>FAST corner detector</b>	<b>5</b>
2.1	Zvýšení obecnosti a rychlosti za pomoci strojového učení . . . . .	6
2.2	Potlačení blízkých bodů . . . . .	6
2.3	Deklarace funkce a její parametry . . . . .	7
2.4	Příklad použití . . . . .	7
2.5	Porovnání detekce se zapnutou a vypnutou funkcí potlačení blízkých bodů . . . . .	8
<b>3</b>	<b>Maximally stable extremal regions</b>	<b>10</b>
3.1	Navržený robustní algoritmus . . . . .	11
3.2	Řešení pro gray-scale a barevný obrázek . . . . .	12
3.3	Deklarace funkce a její parametry . . . . .	12
3.4	Příklad použití . . . . .	13
3.5	Porovnání detekce regionů gray-scale a barevného obrázku . . . . .	14
<b>4</b>	<b>LDetector</b>	<b>16</b>
4.1	Deklarace funkce a její parametry . . . . .	18
4.2	Příklad použití . . . . .	20
4.3	Srovnání metod getMostStable2D a operator . . . . .	20
<b>5</b>	<b>HOG people and object detector</b>	<b>22</b>
5.1	Deklarace funkce a její parametry . . . . .	24
5.2	Příklad použití . . . . .	27
<b>6</b>	<b>One-way descriptor</b>	<b>29</b>
6.1	Deklarace funkce a její parametry . . . . .	30
6.2	Příklad použití . . . . .	33
<b>7</b>	<b>Návrh a implementace</b>	<b>36</b>
7.1	Návrh demo aplikace . . . . .	36
7.2	Ovládaní programu . . . . .	36
7.3	Popis jednotlivých demo aplikací . . . . .	37
<b>8</b>	<b>Závěr</b>	<b>40</b>

<b>A Dokumentace tříd OneWayDescriptor a OneWayDescriptorObject</b>	<b>43</b>
A.1 Třída OneWayDescriptor . . . . .	43
A.2 Třída OneWayDescriptorObject . . . . .	47
<b>B Zdrojový kód použití One-way deskriptoru</b>	<b>49</b>

# Kapitola 1

## Úvod

S neustálým zdokonalováním výpočetní a video techniky dochází k jejímu nasazení v mnoha různorodých odvětvích, kde je velmi často využíváno počítačového vidění. Počítačové vidění je věda, která se snaží technicky napodobit lidské vidění, přičemž získává informace z obrazů. Obrazová data se mohou vyskytovat v mnoha formách, např. jako jednotlivé obrázky, videosekvence či pohledy z více kamer. Navrženy byly systémy schopny řídit procesy, detekovat události nebo také modelovat objekty.

V této době již existuje nespočet knihoven pro počítačové vidění, jako jsou například Vinga, NCV<sup>1</sup>, Blep a v neposlední řadě také OpenCV, na kterou je zaměřena tato bakalářská práce.

### 1.1 OpenCV knihovna

OpenCV<sup>2</sup> je volně šiřitelná knihovna pro počítačové vidění, která obsahuje velké množství metod a algoritmů pro zpracovávání reálně běžícího videa. Tato knihovna byla vyvinuta společností Intel, je napsána v jazyce C a C++ a pracuje pod operačními systémy Linux, Windows i Mac OS. Knihovna OpenCV je šířena pod BSD<sup>3</sup> licencí a její první alpha verze byla vydána v lednu roku 1999.

Jedním z klíčových cílů OpenCV je vytvořit jednoduše použitelnou infrastrukturu algoritmů počítačového vidění. Knihovna nyní obsahuje více jak 500 funkcí z mnoha odvětví počítačového vidění. OpenCV taktéž zahrnuje knihovnu pro strojové učení<sup>4</sup>, jelikož ta je s počítačovým viděním úzce spjata.[2]

### 1.2 Cíl práce

Cílem této práce je identifikovat a popsat základní činnosti prováděné při práci s knihovnou OpenCV. V září roku 2009 byla vydána nová verze 2.0<sup>5</sup>, kde se nacházela spousta nových, leč nezdokumentovaných metod. Po konzultaci s vedoucím jsme se dohodli, že bude vhodné se pokusit zdokumentovat některé z nich. Konkrétně jsem se zaměřil na detektory význačných bodů a objektů.

---

<sup>1</sup>Nokia CV

<sup>2</sup>Open Source Computer Vision

<sup>3</sup>**Berkeley Software Distribution licence** umožňuje volné šíření licencovaného obsahu, přičemž požaduje pouze uvedení autora a informaci o licenci včetně informace o zřeknutí se odpovědnosti za dílo.

<sup>4</sup>Machine Learning Library

<sup>5</sup><http://opencv.willowgarage.com/wiki/OpenCV%20Change%20Logs>

Současně bylo mým úkolem k dokumentovaným metodám vytvořit programy, které je budou využívat, a demonstrovat jejich činnost. Výstupem mé práce by měl být tutoriál sestávající z více příkladů umístěný na web, což by usnadnilo přístup k informacím pro ostatní uživatele OpenCV.

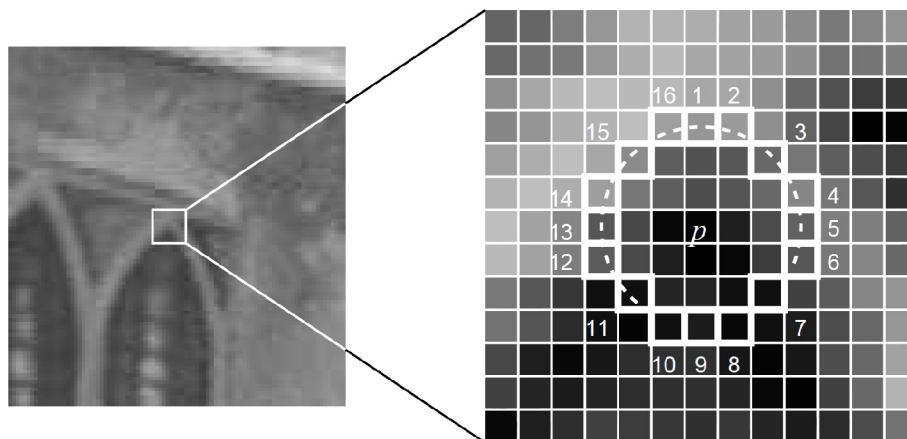
Práce je pojata poněkud netradičně, jelikož ji nelze jako standardní bakalářské práce rozdělit na část ryze teoretickou a ryze praktickou. Každá z kapitol 2 až 6 je věnována jedné z mnou dokumentovaných metod, přičemž obsahuje teoretický úvod, deklaraci funkcí dané metody a také její příklad použití. V poslední 7. kapitole uvádím návrh demo aplikace a její ovládání.

## Kapitola 2

# FAST corner detector

Detektory význačných bodů jsou ve většině případů v praxi používány v aplikacích běžících v reálném čase. Z tohoto důvodu je jedním z hlavních požadavků požadavek na rychlost detektoru. EDWARD ROSTEN a TOM DRUMMOND vytvořili nový detektor, který je ve srovnání s ostatními detektory značně rychlejší. Detektor je schopen zpracovávat reálně běžící video ve formátu PAL, přičemž vyžaduje *méně jak 7%* procesorového času. V porovnání s ostatními detektory není schopna většina z nich video zpracovat. (Harris detektor 115%, SIFT 195%) Informace, vztahující se k FAST detektoru popsané v této kapitole, byly čerpány z [11],[12] a [13].

Hlavní podstatou FAST<sup>1</sup> detektoru je segmentový test, který pracuje s *Bressenhamovým kruhem* šestnácti pixelů soustředěného okolo bodu  $p$  považovaného za roh. Bod  $p$  je prohlášen za roh, pokud existuje alespoň  $n$  sousedících bodů, které jsou světlejší než součet intenzity testovaného bodu  $I_p$  a prahu  $t$ , nebo naopak tmavší než  $I_p - t$ , jak je zobrazeno na obrázku 2.1. Za  $n$  se obvykle volí číslo dvanáct, protože při menším  $n$  se vyskytuje hodně bodů, které rohy nejsou.



Obrázek 2.1: Znázornění segmentového testu rohové detekce v části obrázku. Vyznačené čtverce jsou pixely použité při rohové detekci. Pixel  $p$  je právě testovaný bod považovaný za roh.[12]

<sup>1</sup>Features from Accelerated Segment Test



Jako první jsou prověřovány body 1 a 9. Jestliže jsou intenzity obou pixelů v mezích  $I_p + t$  resp.  $I_p - t$ , tento bod není rohem. Naopak je však stále možné, že testovaný bod může být roh, proto se dále prověřují body 5 a 13. K tomu, aby mohl být bod označený za rohový, musí být nejméně 3 z těchto 4 otestovaných pixelů světlejší než  $I_p + t$ , nebo naopak tmavší než  $I_p - t$ . Pokud je splněna i tahle podmínka, jsou již otestovány všechny ostatní pixely. Tento typ detektoru vykazuje podle [12] vysoký výkon, má však některé slabiny:

1. Tento přístup neodmítne v krátkém čase tolik kandidátů pro  $n < 12$ , protože v tomhle případě stačí, aby byly pouze 2 ze 4 pixelů výrazně světlejší, či tmavší.
2. Výkon detektoru závisí na pořadí prověřování jednotlivých bodů, ležících na Bresse-nhamově kružnici. Je nepravděpodobné, že pořadí 1,9,5,13 je optimální.
3. Je zjištěno více význačných bodů blízko sebe.

## 2.1 Zvýšení obecnosti a rychlosti za pomoci strojového učení

Proces se skládá ze dvou kroků. Nejprve jsou rohy detekovány ze sady obrázků, kde se používá pomalý algoritmus, který jednoduše testuje všech 16 bodů na kružnici soustředných kolem testovaného bodu. Pro každou relativní pozici na kružnici  $x \in \{1 \dots 16\}$  může mít pixel 3 stavy vzhledem k středovému pixelu  $p$ :

$$\begin{array}{ll} \text{tmavší:} & I_{p \rightarrow x} \leq I_p - t \\ \text{podobný:} & I_p - t < I_{p \rightarrow x} < I_p + t \\ \text{světlejší:} & I_p + t \leq I_{p \rightarrow x} \end{array}$$

Ve 2. fázi je použit ID3<sup>2</sup> algoritmus, který vytvoří rozhodovací strom schopný klasifikovat všechny rohy nalezené v sadě trénovacích obrázků, díky čemuž je i schopen správně popsat pravidla *FAST detektoru*.

Rozhodovací strom je posléze překonvertován do C kódu, který je tvořen velkou řadou `if-else` podmínek a také `goto` nepodmíněných skoků. Tento kód je poté zkompileován a používán jako detektor rohů. Většina bodů je odmítnuta již po testech dvou pixelů, což vede k značnému navýšení rychlosti.

Na stránkách<sup>3</sup> EDWARDA ROSTENA lze nalézt zdrojové kódy, sloužící pro generaci vlastního FAST detektoru ze svého setu obrázků. Výstupem může být i detektor v jiném jazyce.

## 2.2 Potlačení blízkých bodů

Velmi užitečnou vlastností *FAST detektoru* je potlačení blízkých bodů, které je založeno na postupném zvyšování prahu. Při tomto ději totiž dochází ke snižování počtu detekovaných rohů. Rohy jsou ohodnoceny maximální hodnotou prahu  $t$ , pro kterou jsou ještě detekovány jako roh. Detekce blízkých bodů je prováděna v matici  $3 \times 3$ .

<sup>2</sup>**Iterative Dichotomiser 3** je algoritmus sloužící k generování rozhodovacích stromů stvořený ROSSEM QUINLANEM.

<sup>3</sup><http://mi.eng.cam.ac.uk/~er258/work/fast.html>

## 2.3 Deklarace funkce a její parametry

Zdrojový kód *FAST detektoru* lze nalézt v souboru `cvfast.cpp` v adresáři `cvaux`.

```
void FAST( const Mat& image, vector<KeyPoint>& keypoints, int
           threshold, bool nonmax_suppression );
```

**image** Zdrojový obrázek, ve kterém se budou detekovat rohové body. Detektor pracuje pouze s **gray-scale obrázky**.

**keypoints** Výstupní vektor bodů, do kterého budou uloženy body detekované detektorem.

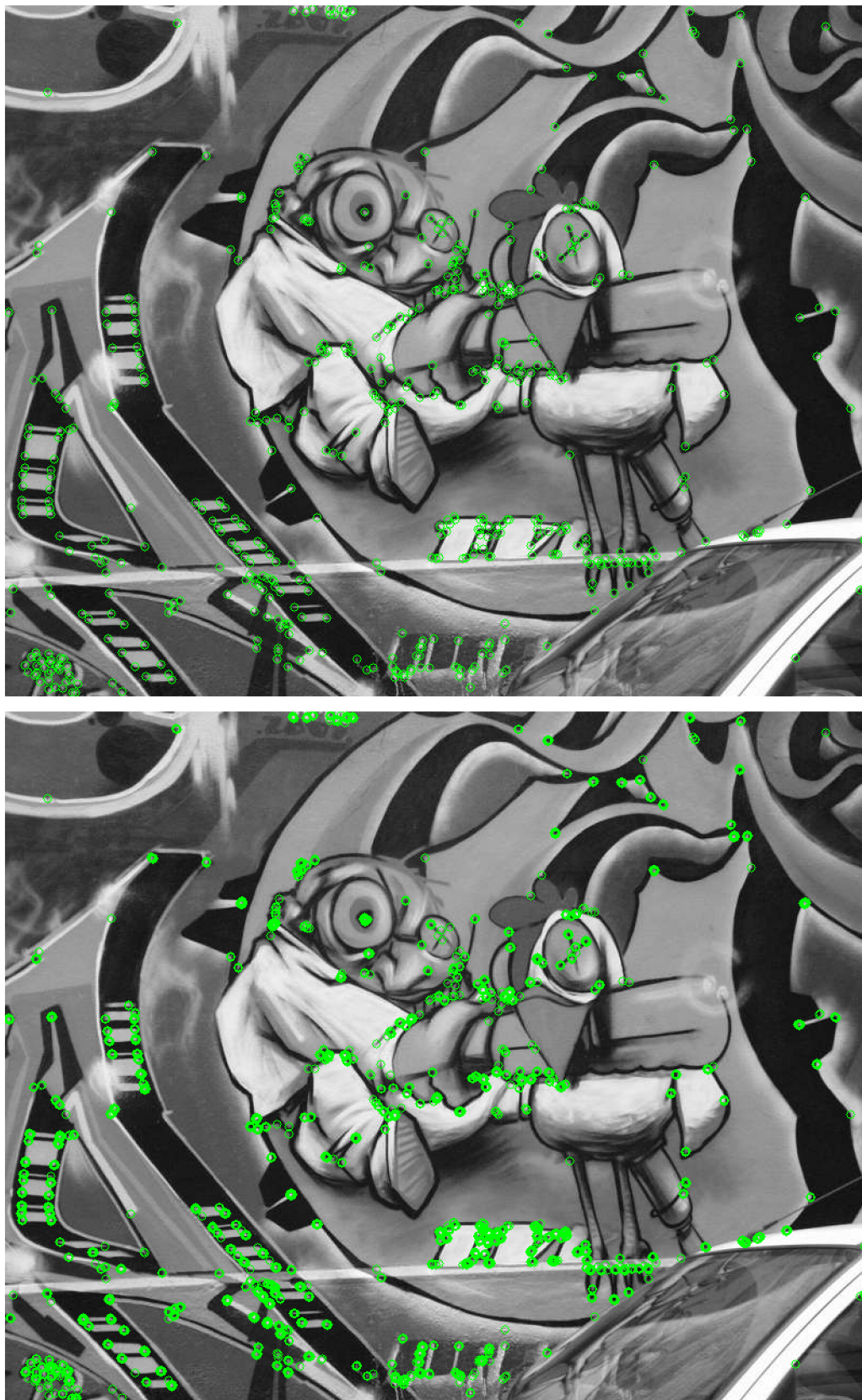
**supression** Určuje, zda bude po detekci použito potlačení blízkých bodů.

## 2.4 Příklad použití

```
// nacte obrazek ve stupnich sedi
cv::Mat img = cv::imread( "jmenoSouboru"
, CV_LOAD_IMAGE_GRAYSCALE );
// pokud se podarilo obrazek nacist, provede detekci
if( img.data )
{
    // vektor slouzici pro ukladani nalezenych klicovych bodu
    std::vector<cv::KeyPoint> keypoints;
    std::vector<cv::KeyPoint>::iterator it;
    keypoints.clear();
    // provede detekci rohovych bodu pomoci FAST detektoru v
    matici obrazku img s prahem 50 a zaplym potlacenim
    blizkych bodu
    cv::FAST( img, keypoints, 50, true );
    // vsechny nalezene body postupne zaznamena do obrazku
    jako kruznice o polomeru 3
    cv::Point point;
    for ( it = keypoints.begin(); it < keypoints.end(); it++
        ) {
        point.x = it->pt.x;
        point.y = it->pt.y;
        cv::circle( img, point, 3, CV_RGB(255,0,0) );
    }
    // zobrazi obrazek a pocka na stisk klavesy
    cv::namedWindow( "img", CV_WINDOW_AUTOSIZE );
    cv::imshow( "img", img );
    cv::waitKey(0);
}
```

## 2.5 Porovnání detekce se zapnutou a vypnutou funkcí potlačení blízkých bodů

FAST detektor jsem testoval na obrázku o rozměrech  $800 \times 640$  bodů, přičemž detekce bez potlačení blízkých bodů trvala  $4,0ms$  oproti  $4,5ms$  se zapnutým potlačením blízkých bodů. Práh detektoru byl nastaven na hodnotu 60. Výstup obou detektorů je zobrazen na obrázku [2.2](#).



Obrázek 2.2: Detekce rohových bodů pomocí FAST algoritmu se zapnutým/vypnutým potlačením blízkých bodů.

## Kapitola 3

# Maximally stable extremal regions

Metoda Maximally stable extremal regions byla navržena pro zjišťování podobností elementů obrázků s rozdílnými úhly pohledu. Tato metoda extrakce mnoha vzájemně si odpovídajících elementů v obraze vedla k lepší identifikaci totožných objektů v různých pohledech shodné scény. Metodu jako první prezentoval JIŘÍ MATAS. Informace o této metodě byly čerpány z [10] a [15].

Základní princip MSER je následující. Představme si všechny možné prahy obrázku v úrovních šedi. Všechny body pod úrovní prahu označíme jako černé, ostatní nad úrovní prahu jako bílé. Pokud si po té zobrazíme posloupnost obrázků, kde budeme postupně měnit práh z nejmenší hodnoty na největší, uvidíme první obrázek jako bílý. S postupným zvedáním prahu se na obraze budou tvořit černé shluky bodů. Tyto shluky se budou se zvyšováním prahu zvětšovat a v určitém bodě se regiony se shodnými lokálními minimy sloučí. Poslední obrázek bude celý černý. Soubor všech propojených komponent ze snímků je množina všech maximálních regionů. Pokud bychom chtěli dostat minimální regiony, získali bychom je stejným postupem, pouze s převrácením intenzity bodů.

Metoda MSER má tyto vlastnosti:

- Invariantní vůči afinním transformacím obrázku. To znamená, že obrázek může být různě zdeformován či zkosen.
- Stablní na mnoha prazích různě se lišících regionů.
- Je schopna stejně dobře detekovat jak malé, tak i naopak velmi velké regiony, čehož lze využít při detekci v obrázcích s rozdílnými měřítky.
- Soubor všech extrémních regionů lze vyčíslit v  $\mathcal{O}(n \log(\log n))$ , kde  $n$  je počet pixelů v obrázku.

Vyčíslení extrémních regionů vypadá následovně. Nejprve jsou pixely seřazeny podle intenzity. Složitost tohoto kroku je  $\mathcal{O}(n)$ . Toto řazení bývá často realizováno jako *BINSORT*<sup>1</sup>. Po seřazení jsou pixely umísťovány do obrazu (buď v narůstajícím, či snižujícím se pořadí) a seznam propojených částí a jejich ploch se udržuje pomocí *union-find algoritmu*<sup>2</sup>. Algoritmus je podle [10] velmi rychlý v praktickém použití.

---

<sup>1</sup>**BINSORT** je řadící algoritmus založený na insert sortu, který však pro vyhledání místa pro zatřídění právě řazeného prvku do již seřazeného pole používá binární půlení.

<sup>2</sup>**union-find algoritmus** je algoritmus, který dokáže určit, ve které množině se nachází daný prvek (find) a také umí spojit dvě množiny dohromady (union).

### 3.1 Navržený robustní algoritmus

Pro porovnávání detekovaných regionů byl navržen algoritmus, který pro každý detekovaný význačný region vytvoří několik regionů měřitelných, které normalizuje tak, aby je následně bylo možné porovnávat. Pro význačný region na prvním obrázku je nalezen takový význačný region z druhého obrázku, kde je největší shoda jejich měřitelných regionů.

#### Detekce význačných regionů

Prvním krokem je detekce *význačných regionů*, při které se MSERy počítají jak z normálního (MSER+), tak z invertovaného obrázku (MSER-).

#### Měřitelné regiony

*Měřitelné regiony* s libovolnou velikostí mohou být spojeny s každým *význačným regionem*, jestliže je jejich stavba afinně-kovariantní<sup>3</sup>. Menší regiony jsou používány spíše ke splnění planární podmínky, nikoliv pro spojení nesouvislostí v hloubce či orientaci. Naopak zvětšování regionů s sebou nese riziko zahrnutí části pozadí, které může být na více porovnávaných obrázcích zcela odlišné. Optimální velikost *měřitelných regionů* závisí na scéně obrazu a je odlišná pro každý *význačný region*.

V tomto algoritmu jsou *měřitelné regiony* vybírány v několika měřících: jako velikost samotného význačného regionu, 1, 5, 2 a 3 násobek *význačného regionu*.

#### Invariantní popis

Po aplikaci transformace, která diagonalizuje kovariantní matici význačných regionů, jsou použity rotační invarianty. Tuto kombinaci lze označit afinně-invariantní procedurou.

#### Robustní porovnávání

Pro všechny měřitelné regiony  $M_A^i$ , vytvořené na význačném regionu  $A$ , jsou nalezeny význačné regiony  $B_1, \dots, B_k$  v jiném obrázku s odpovídajícími  $i$ -tými měřitelnými regiony  $M_{B_1}^i, \dots, M_{B_k}^i$  nejbližšími k  $M_A^i$ . Jejich ohodnocení potom udává shodu mezi  $A$  a každým z  $B_1, \dots, B_k$ .

Ohodnocení jsou sečteny ve všech měřitelných regionech. Význačné regiony s největším počtem ohodnocení jsou potom kandidáty na možnou shodu. Pomocí pravděpodobnostní analýzy je vybrán odpovídající význačný region.

Invariantní popis je použit jako předběžný test korespondence regionů, přičemž konečný výběr je založen na korelaci. Nejprve jsou aplikovány transformace, jež diagonalizují kovariantní matice význačných regionů. Výsledné kruhové regiony jsou korelovány, což je efektivně prováděno v polárních souřadnicích pro odlišné velikosti kružnic.

Přibližnou epipolární geometrii<sup>4</sup> lze vypočítat aplikací RANSAC<sup>5</sup> na těžiště význačných regionů. Přesnost epipolární geometrie lze zlepšit tak, že jsou nejprve spočítány afinní

<sup>3</sup>Kovariance udává míru vzájemné vazby mezi veličinami.

<sup>4</sup>Epipolární geometrie je geometrií dvou středových promítání. Je teoretickým základem pro určení vztahu mezi dvěma obrázky téže scény a pro rekonstrukci scény v prostoru.

<sup>5</sup>RANdom SAMple Consensus je iterativní metoda pro odhad parametrů matematického modelu z řady pozorovaných dat, které obsahují odlehle hodnoty. Algoritmus byl poprvé zveřejněn FISCHLEREM a BOLLESEM v roce 1981.

transformace mezi potenciálně si odpovídajícími význačnými regiony. Podobnost kovariantních matic udává afinní transformace současně s rotací, přičemž ta je určena epipolárními linkami. Dále jsou vybrány pouze regiony s korelací jejich transformovaných obrázku nad vybraným prahem.

Přesnost epipolární geometrie je odhadována *eight-point algoritmem*<sup>6</sup>.

## 3.2 Řešení pro gray-scale a barevný obrázek

V OpenCV 2.0 jsou implementovány dva algoritmy MSER, jeden pro gray-scale a druhý pro barevný obrázek.

- Gray-scale algoritmus je založen na *Linear Time Maximally Stable External Regions*.
- Algoritmus pro barevný obrázek je založen na *Maximally Stable Colour Regions*[4], který nepracuje s prahováním intenzity, ale s *analýzou shluků*<sup>7</sup>, založených na barevných gradientech. Udává se, že tento algoritmus je 3–4x pomalejší než standardní gray-scale algoritmus.
- Druh algoritmu je automaticky zvolen podle matice obrázku, ve kterém provádíme detekci.

## 3.3 Deklarace funkce a její parametry

Zdrojový kód algoritmu lze nalézt v souboru `cvmser.cpp` v adresáři `cv`.

---

```
MSER();
```

Defaultní nastavení je uvedeno v závorkách za jednotlivými parametry u následujícího konstrukturu.

---

```
MSER( int _delta, int _min_area, int _max_area, float
      _max_variation, float _min_diversity, int _max_evolution,
      double _area_threshold, double _min_margin, int
      _edge_blur_size );
```

**\_delta (5)** Používá se při výpočtu odchylky regionů. Určuje, po jakých hodnotách se bude algoritmus posouvat při hledání správného prvku.

**\_min\_area (60)** Minimální velikost regionu

**\_max\_area (14400)** Maximální velikost regionu

**\_max\_variation (0.25)** Maximální odchylka regionů, které lze spojit do jednoho.

**min\_diversity (0.2)** Minimální odlišnost

---

<sup>6</sup>**Eight-point algoritmus** je algoritmus sloužící k odhadu základní matice ze setu odpovídajících si bodů ve dvou obrázcích při stereografii. Algoritmus byl představen v roce 1981 CHRISTOPHEREM LONGUET-HIGGINSEM.

<sup>7</sup>**Cluster analysis** spočívá v rozkladu daného souboru dat na několik téměř stejnorodých podmnožin

**\_max\_evolution (200)** Maximální rozvoj udává počet prahů, které budou použity při detekci.

**\_area\_threshold (1.01)** Práh oblasti

**\_min\_margin (0.003)** Margin udává počet prahů, pro které je region stabilní. K tomu, aby byl region stabilní, se musí tedy vyskytnout minimálně u `_min_margin` prahů.

**\_edge\_blur\_size (5)** Hodnota *Gaussova šumu*, která se aplikuje na barevný obrázek ještě před samotnou detekcí.

Stabilní region je takový, jestliže je větší jako `_min_area` a zároveň menší jako `_max_area`. Přitom se musí lišit od svého předchůdce o více jak `min_diversity`.

Parametry `_max_evolution`, `_area_threshold`, `_min_margin` a `_edge_blur_size` se používají pouze u detekce v barevném obrázku.

---

```
void operator()(Mat& image, vector<vector<Point>>& msers,
               const Mat& mask) const;
```

**image** Zdrojový obrázek, ve kterém bude prováděna detekce.

**msers** Výstupní vektor regionů. V každém z vektorů jsou uloženy body, patřící jednomu regionu.

**mask** Operační maska. Specifikuje, v jakých částech matice obrázku se budou regiony vyhledávat.

### 3.4 Příklad použití

```
// nacte obrazek
cv::Mat img = cv::imread("jmenoSouboru", CV_LOAD_IMAGE_COLOR);
if( img.data )
{
    // vektor slouzici k ukladani nalezenych klicovych bodu
    std::vector<std::vector<cv::Point>> keypoints;
    std::vector<std::vector<cv::Point>>::iterator it;
    std::vector<cv::Point>::iterator it2;
    // provede detekci
    cv::Mat tmp2;
    cv::MSER mser;
    mser(img, keypoints, tmp2);
    // kazdy region zobrazi odlisnou barvou
    for (it = keypoints.begin(); it < keypoints.end(); it++)
    {
        cv::Scalar color(rand()&255, rand()&255, rand()&255);
        for (it2 = it->begin(); it2 < it->end(); it2++)
        {
            cv::circle(img, cv::Point(it2->x, it2->y), 0, color);
        }
    }
}
```



```
    }  
}  
// zobrazí obrazek a počka na stisk klavesy  
cv::namedWindow( "img", CV_WINDOW_AUTOSIZE );  
cv::imshow("img",img);  
cv::waitKey(0);  
}
```

### 3.5 Porovnání detekce regionů gray-scale a barevného obrázku

Jak jsem se již zmínil v sekci 3.2, MSER používá dvě odlišné metody pro detekci regionů v gray-scale a barevném obrázku, proto jsem se rozhodl porovnat výkonnost a výstup těchto dvou přístupů. Porovnání jsem prováděl na obrázku o rozměrech  $800 \times 640$  bodů s defaultním nastavením parametrů zmíněným výše v 3.3, přičemž zpracování černobílého obrázku trvalo  $136ms$  oproti  $491ms$  u obrázku barevného. Z obrázků je také zřejmé, že metody používají opravdu odlišné přístupy, jelikož se stejným nastavením nejsou detekované regiony totožné.



Obrázek 3.1: Porovnání detekce regionů v barevném a grayscale obrázku algoritmem MSER se shodným nastavením.

## Kapitola 4

# LDetector

*LDetector* je rychlý detektor význačných bodů založený na kruhovém testu, který byl publikován VINCENTEM LEPETITEM. Přestože bylo již publikováno mnoho kvalitních metod k detekci význačných bodů v obraze, byl *LDetector* publikován z několika důvodů:

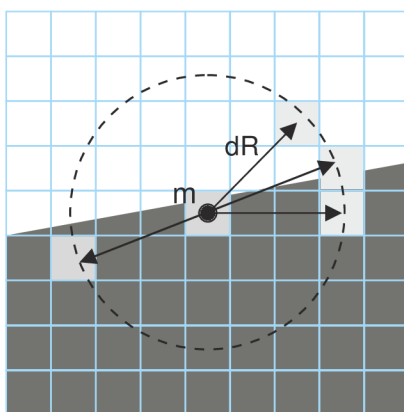
- Je rychlý
- Jeví se jako velmi stabilní v praxi
- Může určit orientaci význačného bodu

Informace vztahující se k *LDetectoru* byly čerpány z [9].

Základní myšlenkou této metody je porovnávání intenzity bodů, které leží na kružnici, soustředěné kolem testovaného klíčového bodu. Pokud dva zcela odlišné body na tomto kruhu mají přibližně stejnou intenzitu, potom je bod prohlášen za neklíčový. Algoritmus provádí test typu:

$$\begin{aligned} \text{pokud } |I(m) - I(m + dR_\alpha)| &\leq +\tau \\ \text{a zároveň } |I(m) - I(m - dR_\alpha)| &\leq +\tau \end{aligned}$$

potom bod  $m$  není význačný bod, kde  $dR_\alpha = (R \cos \alpha; R \sin \alpha)$ .  $R$  je rádius a  $\alpha$  může nabývat hodnot  $[0; \pi]$ .



Obrázek 4.1: Zobrazení nutného testu sousedů[9]

V praxi se neporovnávají pouze přímo protilehlé pixely, ale je nutno porovnávat i jejich sousedy, jak je znázorněno na obrázku 4.1. Místo toho, aby byly prohledávány všechny body

na kružnici, je zde využito *rozhodovacích stromů*, které pracují *gaussovskými pyramidami* daného obrázku. Obvykle je test bodů, které nejsou klíčovými, ukončen velmi rychle bez prohledávání celého kruhu.

Tento přístup produkuje několik pozitivních reakcí v okolí význačného bodu, proto je zde, stejně jako u jiných detektorů, pro každou odezvu počítáno její ohodnocení. K dosažení stabilních výsledků je k ohodnocení význačných bodů použit *Laplacián*<sup>1</sup>.

Pro určení orientace význačných bodů je použita stejná konstrukce. Orientace  $\alpha_m$  je brána jako:

$$\alpha_m = \operatorname{argmax}_{\alpha \in [0; 2\pi]} |I(m) - I(m + dR_\alpha)|$$

Orientace je dostatečně stabilní k normalizaci sousedních význačných bodů s ohledem na 2D orientaci. Tato metoda pracuje pouze s **gray-scale obrázkem**, jelikož se při detekci význačných bodů porovnávají intenzity bodů.

### Gaussovské pyramidy

K tomu, aby byl algoritmus použitelný, je nutné provádět detekci bodů v pyramidách obrázku, jak jsem již uváděl výše. Třída `LDetector` obsahuje přetížený operátor, kterému lze předat jak samotný obrázek, tak předem vygenerované pyramidy. `LDetector` využívá pro generaci jednotlivých pyramid funkci `pyrDown()`, která je založena na postupném zmenšování obrázku na polovinu, což provádí tak, že jej nejprve rozmaže pomocí gausiánu a následně vypustí každý druhý řádek a sloupec.

#### metoda operator

Nezákladnější metodou je `operator`, která je schopna velice rychle nalézt význačné body v obrázku. Algoritmus pro všechny pyramidy pracuje následovně:

1. Sestaví další pyramidovou vrstvu
2. Detekuje význačné body, spočítá jejich ohodnocení
3. Provede potlačení blízkých bodů
4. Přizpůsobí počet význačných bodů

#### metoda getMostStable2D

Metodu `getMostStable2D` je vhodné použít pro detekci význačných bodů před samotným během reálné běžící aplikace, jelikož je tento výpočet značně náročný. Princip metody spočívá ve snaze najít nejvíce stabilní body z množiny obrázků, které jsou vytvořeny afinními transformacemi ze vstupního obrázku. Postup algoritmu pro jeden pohled je následující:

1. Vygeneruje náhodnou afinní transformaci
2. Tuto transformaci aplikuje na zdrojový obrázek
3. Spustí detektor význačných bodů v pyramidách (metoda `operator`)
4. Vytvoří inverzní afinní transformaci

---

<sup>1</sup>**Laplacian of Gaussian** je metoda pro detekci rohů, při kterém se provádí konvoluce obrázku s Gaussovým šumem

5. Namapuje detekované body zpátky do původního obrázku pomocí inverzní transformace

Na konci algoritmu jsou všechny body seřazeny podle jejich ohodnocení, přičemž je vybrán pouze požadovaný počet bodů.

## 4.1 Deklarace funkce a její parametry

Zdrojový kód algoritmu lze nalézt v souboru `cvmsr.cpp` v adresáři `cv`.

---

```
LDetector();
```

Defaultní nastavení je uvedeno v závorkách za jednotlivými parametry u následujícího konstrukturu.

---

```
LDetector(int _radius, int _threshold, int _nOctaves, int  
_nViews, double _baseFeatureSize, double  
_clusteringDistance);
```

**\_radius (7)** Poloměr kružnice, která bude použita při testování jednotlivých bodů, jako je zobrazeno na obrázku 4.1.

**\_threshold (20)** Práh

**\_nOctaves (3)** Počet Gaussovských pyramid, které budou vytvořeny z obrázku, pro následnou detekci.

**\_nViews (1000)** Počet pohledů, ze kterých bude metoda `getMostStable2D` získávat stabilní význačné body.

**\_baseFeatureSize (32)** Základní velikost význačného bodu

**\_clusteringDistance (2)** Vzdálenost jednotlivých seskupení při metodě `getMostStable2D`

---

```
void operator()(const Mat& image, vector<KeyPoint>&  
keypoints, int maxCount=0, bool scaleCoords=true) const;
```

Nejprve spočítá Gaussovské pyramidy pro matici `image` a poté volá operátor, který již pracuje s pyramidami.

**image** Zdrojový obrázek, ve kterém se budou detekovat význačné body.

**keypoints** Výstupní vektor význačných bodů

**maxCount** Detektor vrátí `maxCount` počet význačných bodů.

**scaleCoords** Úprava měřítka podle toho, ve které pyramidě byl klíčový bod detekován

---

```
void operator()(const vector<Mat>& pyr, vector<KeyPoint>& keypoints, int maxCount=0, bool scaleCoords=true) const;
```

**pyr** Gausovské Pyramidy, ve kterých se budou detekovat význačné body.

**keypoints** Výstupní vektor význačných bodů

**maxCount** Detektor vrátí **maxCount** počet význačných bodů.

**scaleCoords** Úprava měřítka podle toho, ve které pyramidě byl klíčový bod detekován.

---

```
void getMostStable2D(const Mat& image, vector<KeyPoint>& keypoints, int maxCount, const PatchGenerator& patchGenerator) const;
```

Získá nejvíce stabilní body z matice obrázku **image**. Tento postup provádí pro **nViews** afinních transformací obrázku.

**image** Zdrojový obrázek, ve kterém se budou detekovat význačné body.

**keypoints** Výstupní vektor význačných bodů

**maxCount** Maximální počet hledaných nejvíce stabilních význačných bodů

**patchGenerator** Určuje, jaké transformace budou generovány

---

```
void setVerbose(bool verbose);
```

**verbose** Nastaví detektor jako výřečný

---

```
void read(const FileNode& node);
```

**node** Načte nastavení detektoru z uzlu **node**

---

```
void write(FileStorage& fs, const String& name=String()) const;
```

**fs** Datové úložiště

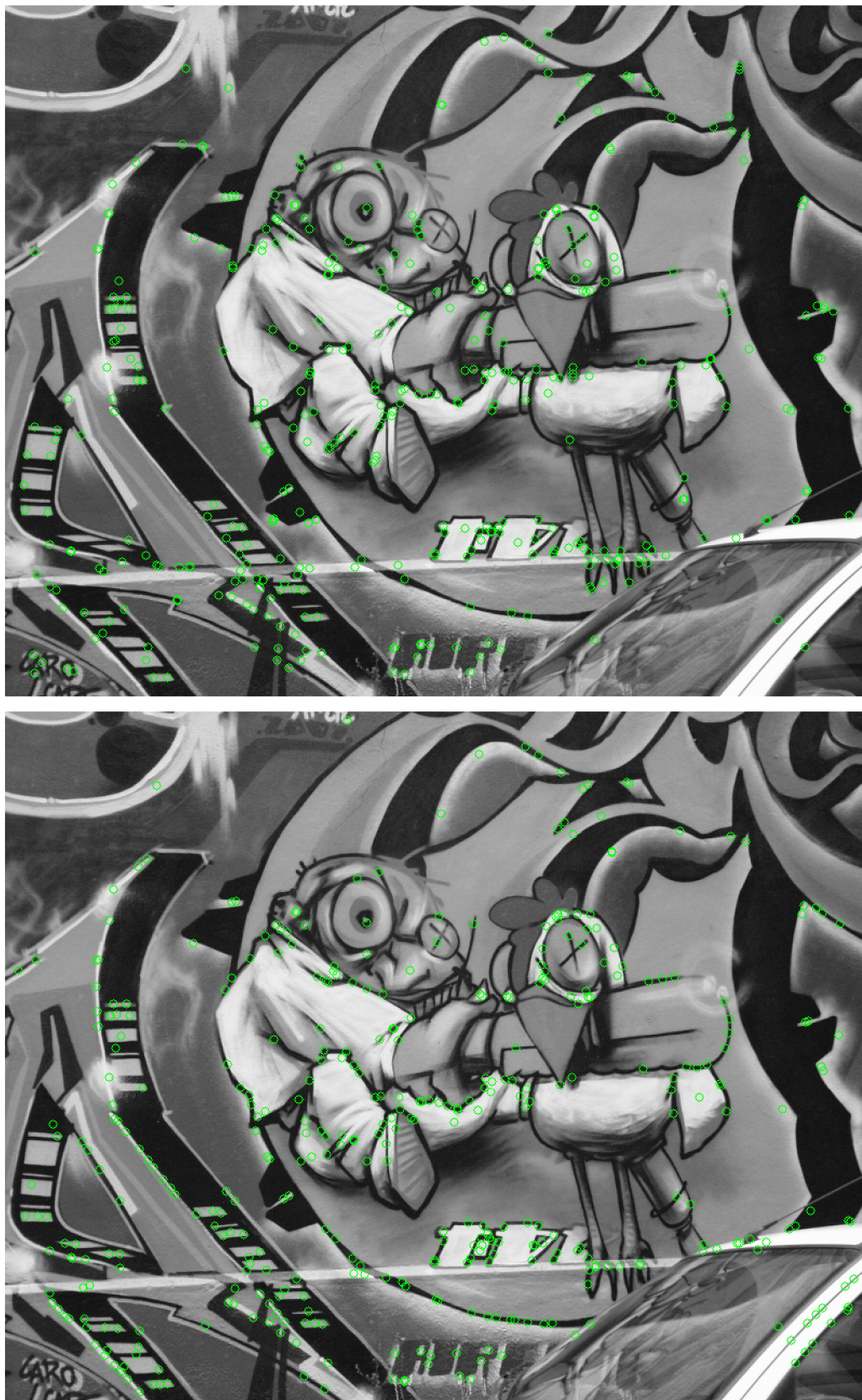
**name** Jméno, pod kterým bude uloženo nastavení detektoru

## 4.2 Příklad použití

```
// nacte obrazek ve stupnich sedi
cv::Mat img =
    cv::imread("jmenoSouboru", CV_LOAD_IMAGE_GRAYSCALE);
if( img.data )
{
    cv::Mat img1 = img.clone();
    cv::Mat img2 = img.clone();
    // vektor slouzici k ukladani nalezenych klicovych bodu
    std::vector<cv::KeyPoint> keypoints;
    std::vector<cv::KeyPoint>::iterator it;
    cv::LDetector ldetector;
    // ziska nejvice stabilni body z defaultne nastavenych
    1000 transformaci
    ldetector.getMostStable2D(img, keypoints, 200, *(new
        cv::PatchGenerator()));
    for (it = keypoints.begin(); it < keypoints.end(); it++)
    {
        cv::circle(img1, cv::Point(it->pt.x, it->pt.y), 3,
            cv::Scalar(255, 0, 0));
    }
    // provede detekci 200 nejsilnejsich bodu pyramidovym
    detektorem
    ldetector(img, keypoints, 200);
    for (it = keypoints.begin(); it < keypoints.end(); it++)
    {
        cv::circle(img2, cv::Point(it->pt.x, it->pt.y), 3,
            cv::Scalar(255, 0, 0));
    }
    cv::namedWindow("most stable poses", CV_WINDOW_AUTOSIZE);
    cv::imshow("most stable poses", img1);
    cv::namedWindow("operator", CV_WINDOW_AUTOSIZE);
    cv::imshow("operator", img2);
    cv::waitKey(0);
}
```

## 4.3 Srovnání metod getMostStable2D a operator

Na obrázku 4.2 jsou zobrazeny výstupy dvou metod LDetectoru. Metodu `getMostStable2D` je vhodné použít pro získání nejvíce stabilních bodů před samotným během reálně běžící aplikace, jelikož detekce 400 nejvíce stabilních bodů pro 100 pohledů trvala  $23666ms$  na obrázku o rozměrech  $800 \times 640$  bodů. Oproti tomu rychlá metoda `operator`, založená na pyramidové detekci, zpracovala stejný obrázek za  $127ms$ . Detekce probíhala s defaultním nastavením uvedeným v 4.1, přičemž změněna byla pouze hodnota `nViews = 100`.



Obrázek 4.2: Porovnání detekce význačných bodů metodami `getMostStable2D` a `operator` algoritmu `LDetector`

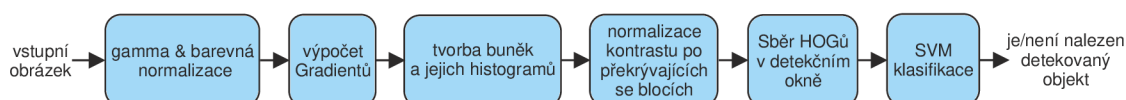


## Kapitola 5

# HOG people and object detector

Histogram of Oriented Gradients je deskriptor význačných rysů, často používaný při zpracování obrazu sloužící k detekci objektů, který byl prezentovaný NAVNEETEM DALALEM a BILLEM TRIGGSEM v roce 2005. Nejčastěji je používán k detekci osob, zvířat či automobilů jak ve videu, tak ve statických obrázcích. Informace, vztahující se k teorii HOG deskriptoru, byly čerpány z [3, 16] a [14].

Základní myšlenkou HOG deskriptoru je to, že objekt vyskytující se v obrázku lze popsat distribucí intenzity gradientů nebo směry hran. Implementačně je toho dosaženo rozdělením obrázku na malé propojené regiony, zvané také buňky(cells). Každá buňka shrnuje histogram směru gradientů, či hranové reprezentace pixelů, jenž jsou uvnitř buňky. Kombinace těchto histogramů tvoří deskriptor. Pro zlepšení výsledku se histogramy kontrastně normalizují tak, že je spočítána intenzita ve větším regionu, než je buňka, nazývaném blok. Tato intenzita je poté použita k normalizaci všech buněk uvnitř bloku. Normalizace vede k lepším výsledkům při změně intenzity, či stínů.



Obrázek 5.1: Diagram práce HOG deskriptoru[3]

### Gamma/barevná normalizace

Tyto normalizace mají pouze malý vliv na výkon deskriptoru, jelikož pozdější normalizace deskriptoru vykazují podobné výsledky.

### Výpočet gradientu

HOG deskriptor používá jednu z nejběžnějších metod, kterou je 1-D centovaná bodová diskretní maska  $[-1, 0, 1]$ . Masku lze použít v horizontálním, vertikálním směru, nebo také v obou. V [3] jsou zmíněny i jiné více komplexní masky, které však nedosahovaly takového výkonu.

### Tvorba buněk a jejich histogramů

Dalším krokem je vytvoření histogramů pro jednotlivé buňky. Každý pixel v buňce ovlivňuje výsledný hranově orientovaný histogram, který je založen na orientaci gradientu středového

elementu. Buňky mohou být obdélníkového či radiálního tvaru. Orientace gradientu je v mezích od  $0^\circ$  do  $180^\circ$  v případě neznaménkového gradientu, či od  $0^\circ$  do  $360^\circ$  stupňů v případě znaménkového gradientu. DALAL a TRIGGS zjistili, že pro detekci osob v obraze je nejlepší použít bezznaménkový gradient současně s 9 kanálovým histogramem. V některých případech, jak je např. detekce aut, či motorek, může zahrnutí znaménkové informace přinést jisté zlepšení.

### Normalizace kontrastu po překrývajících se blocích

Kvůli změnám jasu a kontrastu musí být gradienty jednotlivých buněk lokálně normalizovány, což nás vede k seskupování jednotlivých buněk do bloků. HOG deskriptor je potom vektor normalizovaných buněk histogramu ze všech blokových oblastí. Jelikož se bloky překrývají, některé buňky do výsledného deskriptoru mohou přispívat i vícekrát. Jako nejoptimálnější se jeví nastavení, kdy je použito  $6 \times 6$  pixelů pro jednu buňku,  $3 \times 3$  buňky pro jeden blok a histogram o devíti kanálech.

Pro normalizaci bloků lze použít několik různých normalizačních schémat:

$$(a) \text{ L2-norm, } v \rightarrow \frac{v}{\sqrt{\|v\|_2^2 + \epsilon^2}}$$

$$(b) \text{ L1-norm, } v \rightarrow \frac{v}{(\|v\|_1 + \epsilon)}$$

$$(c) \text{ L1-sqrt, } v \rightarrow \sqrt{\frac{v}{\|v\|_1 + \epsilon}},$$

kde  $v$  je neznormovaný vektor obsahující všechny histogramy v daném bloku,  $\|v\|_k$  jeho  $k$ -norm pro  $k = 1, 2$  a  $\epsilon$  malá konstanta. L2-hys lze spočítat jako L2-norm, kde je výsledek oříznut (limitován maximální hodnotou  $v$  na 0, 2) a renormalizován.

Podle [3] vykazují L2-hys, L2-norm a L1-sqrt podobné výsledky. V knihovně OpenCV je zatím implementováno pouze normalizační schéma L2-hys.

### Sběr HOGů v detekčním okně

Jednou z posledních částí detekčního řetězce je sběr HOGů, jelikož je finální deskriptor tvořen všemi buňkami uvnitř všech bloků v detekčním okně. K detekci osob je v [3] použito detekční okno o rozměru  $64 \times 128$  pixelů, kolem kterého je vytvořen okraj 16ti pixelů na všech čtyřech stranách.

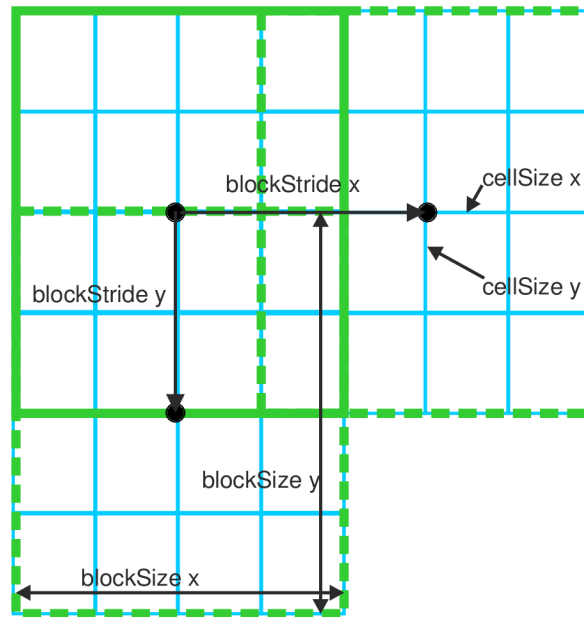
### SVM klasifikace

Konečnou fází při rozpoznávání objektů pomocí HOG deskriptorů je předání deskriptorů nějakému rozpoznávacímu systému, založenému na *supervised learning*<sup>1</sup>. SVM<sup>2</sup> klasifikátor je binární klasifikátor, který hledá optimální nadrovinu jako rozhodovací funkci. Pokud je jednou natrénován na obrázcích s detailní reprezentací objektu, dokáže určit, zda je objekt přítomný, či nikoli. V HOG deskriptoru se používá lineární SVM klasifikátor, trénovaný pomocí SVM<sup>light</sup><sup>3</sup>, který je lehce modifikován pro práci s velkými vektory.

<sup>1</sup>učení s učitelem

<sup>2</sup>Support Vector Machine je soubor metod strojového učení, který se používá pro klasifikaci.

<sup>3</sup><http://svmlight.joachims.org/>



Obrázek 5.2: Zobrazuje interpretaci obrázku HOG deskriptorem. Modré obdélníky znázorňují jednotlivé buňky(cells), pro které jsou vytvářeny histogramy, zatímco zelené obdélníky vyobrazují normalizační bloky. Parametr `blockStride` definuje posun normalizačního bloku po obrázku.

## 5.1 Deklarace funkce a její parametry

Zdrojový kód algoritmu lze nalézt v souboru `cvhog.cpp` v adresáři `cvaux`.

---

```
HOGDescriptor() : winSize(64,128), blockSize(16,16),
  blockStride(8,8),cellSize(8,8), nbins(9),
  derivAperture(1), winSigma(-1),histogramNormType(L2Hys),
  L2HysThreshold(0.2), gammaCorrection(true);
```

---

```
HOGDescriptor(Size _winSize, Size _blockSize, Size
  _blockStride, Size _cellSize, int _nbins, int
  _derivAperture=1, double _winSigma=-1, int
  _histogramNormType=L2Hys, double _L2HysThreshold=0.2, bool
  _gammaCorrection=false);
```

`_winSize` Velikost detekčního okna

`_blockSize` Velikost bloku

`_blockStride` Definuje posun bloku po obrázku

`_cellSize` Velikost buňky

`_nbins` Počet kanálů v histogramu

**\_derivAperture** Nemá žádný vliv na práci deskriptoru

**\_winSigma** Počet detekčních oken

**\_histogramNormType** Typ histogramu. Zatím lze použít pouze `L2Hys`.

**\_L2HysThreshold** Práh histogramu. Používá se při normalizaci blokových histogramů.

**\_gammaCorrection** Gamma korekce

---

```
HOGDescriptor(const String& filename);
```

Načte nastavení deskriptoru ze XML/YAML souboru `filename`. Nastavení se načítá z prvního uzlu na nejvyšší úrovni.

**filename** Jméno souboru

---

```
size_t getDescriptorSize() const;
```

Vrátí velikost deskriptoru.

---

```
bool checkDetectorSize() const;
```

Zkontroluje velikost detektoru. Velikost musí být nulová nebo rovna velikosti deskriptoru, popřípadě o jedna větší.

---

```
double getWinSigma() const;
```

Vrátí hodnotu `winSigma`. Pokud nebyla zadána, tak je spočítána jako:

$$(\text{šířka bloku} + \text{výška bloku})/8$$

---

```
virtual void setSVMdetector(const vector<float>& _svmdetector);
```

Nastaví SVM detektor na `_svmdetector`.

**\_svmdetector** Vektor hodnot tvořících SVM detektor.

---

```
virtual bool load(const String& filename, const String& objname=String());
```

Načte nastavení deskriptoru z XML/YAML souboru `filename` a a uzlu `objname`.

**filename** Jméno souboru

**objname** Jméno uzlu

---

```
virtual void save(const String& filename, const String&
    objname=String()) const;
```

Uloží nastavení deskriptoru do XML/YAML souboru `filename` a uzlu `objname`. V případě, že není `objname` zadáno, ukládá nastavení do uzlu `filename`.

**filename** Jméno souboru

**objname** Jméno uzlu

---

```
virtual void compute(const Mat& img, vector<float>&
    descriptors, Size winStride=Size(), Size padding=Size(),
    const vector<Point>& locations=vector<Point>()) const;
```

Spočítá deskriptory z obrázku

**img** Matice zdrojového obrázku

**descriptors** Výstupní deskriptory

**winStride** Definuje posun okna po obrázku

**padding** Rozšíří detekční obrázek o okraje definované `padding`

**locations** Body, jejichž deskriptory bude metoda počítat. V případě, že žádné body nejsou zadané, spočítá deskriptory z celého obrázku.

---

```
virtual void detect(const Mat& img, vector<Point>&
    foundLocations, double hitThreshold=0, Size
    winStride=Size(), Size padding=Size(), const
    vector<Point>& searchLocations=vector<Point>()) const;
```

Provede detekci objektů podle předem nastaveného SVM v matici obrázku `img`.

**img** Matice zdrojového obrázku

**foundLocations** Výstupní vektor bodů, na kterých byl objekt detekován

**hitThreshold** Práh shody detekovaného objektu s SVM deskriptorem

**winStride** Definuje posun okna po obrázku

**padding** Rozšíří detekční obrázek o okraje definované `padding`

**searchLocations** Body, na kterých budeme detekovat objekty. V případě, že žádné nezadáme, provádí se detekce v celém obrázku.

---

```
virtual void detectMultiScale(const Mat& img, vector<Rect>&
    foundLocations, double hitThreshold=0, Size
    winStride=Size(), Size padding=Size(), double scale=1.05,
    int groupThreshold=2) const;
```

Provede detekci objektů podle předem nastaveného SVM klasifikátoru. Detekce je prováděna několikrát v postupně zmenšovaném obrázku `img`. Krok zmenšení obrázku je definován hodnotou `scale` a detekce se provádí výše zmiňovanou metodou `detect`. Maximální počet transformací je 64, přičemž nejmenší obrázek může mít nejméně velikost okna.

**img** Matice zdrojového obrázku

**foundLocations** Výstupní vektor obdelníků, ve kterých byl objekt detekován

**hitThreshold** Práh shody detekovaného objektu s SVM deskriptorem

**winStride** Definuje posun okna po obrázku

**padding** Rozšíří detekční obrázek o okraje definované `padding`

**scale** Udává, po jakých krocích bude zmenšován původní detekční obrázek. Např. hodnota 1.05 znamená, že každý následující obrázek bude zmenšen o 5%.

**groupThreshold** Práh seskupení podobných oblastí.

---

```
virtual void computeGradient(const Mat& img, Mat& grad, Mat&
    angleOfs, Size paddingTL=Size(), Size paddingBR=Size())
    const;
```

Spočítá gradienty z obrázku.

**img** Matice zdrojového obrázku

**grad** Výstupní matice velikosti gradientů

**angleOfs** Výstupní matice orientace gradientů

**paddingTL** Ohraničení obrázku nahoře a vlevo

**paddingBR** Ohraničení obrázku dole a vpravo

---

```
static vector<float> getDefaultPeopleDetector();
```

Vrátí vektor detektoru osob.

## 5.2 Příklad použití

HOG detektor lze použít pro detekci mnoha odlišných objektů. Níže uvedený příklad demonstruje detekci osob v obraze pomocí metody `detectMultiScale`, přičemž výstup detektoru je zobrazen na obrázku 5.3.

```

// nacte obrazek
cv::Mat img = cv::imread("jmenoSouboru", CV_LOAD_IMAGE_COLOR);
if( img.data )
{
    std::vector<cv::Rect> rects;
    cv::HOGDescriptor hog;
    // nastavi SVM detektor na detektor osob
    hog.setSVMDetector(
        cv::HOGDescriptor::getDefaultPeopleDetector() );
    // provede detekci
    hog.detectMultiScale(img, rects, 0, cv::Size(8,8),
        cv::Size(24,16), 1.1, 2);
    // nalezene obdelniky zaznamenana do obrazku
    for( std::vector<cv::Rect>::iterator it=rects.begin();
        it<rects.end() ; it++)
    {
        cv::rectangle(img, it->t1(), it->br(),
            cv::Scalar(0,255,0),1);
    }

    // zobrazi obrazek a pocka na stisk klavesy
    cv::namedWindow( "img", CV_WINDOW_AUTOSIZE );
    cv::imshow("img",img);
    cv::waitKey(0);
}

```



Obrázek 5.3: Detekce osob v obraze za pomoci metody `detectMultiScale` třídy `HOGDescriptor`.

## Kapitola 6

# One-way descriptor

V minulosti bylo prezentováno již mnoho detektorů affíních regionů. V kombinaci s deskriptory, jako je např. SIFT<sup>1</sup>, jsou použitelné pro většinu typů aplikací. Nedávno byl také v [6] publikován detektor založený na strojovém učení, který je mnohem rychlejší. V případě, že však chceme za běhu integrovat nové význačné body, které se staly viditelnými, je tento přístup nepoužitelný. Nevýhodou tohoto typu detektorů je jeho pomalá fáze trénování. HINTERSTOISSER, KUTTER, NAVAB, FUA a LEPETIT přišli s přístupem, který je taktéž založen na strojovém učení. Vzhledem k předchozímu návrhu je ale schopen trénovat nové body za běhu, což je velmi užitečné pro SLAM<sup>2</sup> aplikace. Informace k teorii one-way deskriptoru jsou čerpány z [7].

Koncepce deskriptorů, založených na strojovém učení, je zpravidla tvořena dvěma kroky. První porovnává vstupní význačný bod s databází již detekovaných bodů. Jde v podstatě o získání přibližné pozice bodu. Druhý krok tuto pozici upřesňuje.

### Získání přibližné pozice bodu

Základní myšlenkou k odhadnutí identity a pozice bodu je vytvoření množiny průměrných ploch (mean patches) z různých referenčních pohledů význačného bodu. Každá plocha je získána pokrivením původní plochy, jejíž středem je význačný bod, pro který jsou plochy generovány. Tato množina průměrných ploch pro jeden význačný bod je označována jako *One-way deskriptor*. Porovnáním příchozího bodu s množinou průměrných ploch dostaneme přibližný odhad pozice tohoto bodu.

Výpočet průměrných ploch je obvykle velice časově náročný. V této metodě je použito techniky PCA<sup>3</sup> spolu s trénovací fází. V trénovací fázi jsou spočítány průměrné PCA hodnoty a také PCA eigenvektory, které jsou následně použity k velice rychlému vytvoření průměrných ploch nového význačného bodu za běhu aplikace. Jde v podstatě jen o promítnutí význačného bodu do eigenprostoru.

Jelikož je pro rychlost algoritmu důležité, aby pokrívovací funkce použitá při generaci nových ploch byla lineární, je brána původní plocha větší než výsledná pokrivená plocha. Tím je zaručeno, že se v pokrivené ploše nevyskytnou žádné nové části.

---

<sup>1</sup>**Scale-Invariant Feature Transform** je algoritmus, který je schopen detekovat a popsat význačné body v obrázku.

<sup>2</sup>**Simultaneous Localization and Mapping** je technika používaná v robotismu, která slouží k sestavení mapy bez prioritních znalostí či aktualizování mapy s prioritními znalostmi, zatímco ve stejném čase je sledována aktuální poloha.

<sup>3</sup>**Principal Component Analysis** je matematická procedura schopná transformovat velký počet korelovatelných hodnot do menšího dále již nekorelovatelného počtu. Používá se ke snížení dimenze dat.



## Upřesnění pozice bodu

Jakmile je pro příchozí bod získána přibližná pozice s její celkovou identitou  $\hat{id}$ , je použit  $IC^4$  algoritmus společně s aproximací nadroviny<sup>5</sup> k jejímu upřesnění.

## 6.1 Deklarace funkce a její parametry

Zdrojový kód *One-way deskriptoru* lze nalézt v souboru `cvoneway.cpp` v adresáři `cvaux`, přičemž implementace obsahuje celkem 3 třídy `OneWayDescriptor`, `OneWayDescriptorBase` a `OneWayDescriptorObject`. Pro přehlednost je zde uvedena pouze třída `OneWayDescriptorBase`, která je použita u demonstračního příkladu 6.2. Dokumentaci ostatních dvou tříd lze nalézt v příloze A.

Třída `OneWayDescriptorBase` zahrnuje funkcionalitu pro trénování a načítání několika one-way deskriptorů. Dokáže také vyhledat nejbližší deskriptor k vstupnímu význačnému rysu.

---

```
OneWayDescriptorBase(Size patch_size, int pose_count, const
    char* train_path = 0, const char* pca_config = 0, const
    char* pca_hr_config = 0, const char* pca_desc_config = 0,
    int pyr_levels = 2, int pca_dim_high = 100, int
    pca_dim_low = 100);
```

**patch\_size** Velikost vstupních ploch

**pose\_count** Počet póz, které se budou generovat pro každý detektor

**train\_path** Cesta k trénovacím souborům

**pca\_config** Jméno souboru, který obsahuje PCA pro malé plochy.

**pca\_hr\_config** Jméno souboru, který obsahuje PCA pro velké plochy.(velikosti vstupních ploch)

**pca\_desc\_config** Jméno souboru, který obsahuje deskriptory PCA složek

**pyr\_levels** Úroveň pyramid generovaných z obrázku

**pca\_dim\_high** Počet PCA složek určených pro generaci afinních transformací

**pca\_dim\_low** Počet PCA složek sloužících k porovnávání

---

```
void Allocate(int train_feature_count);
```

Naalokuje paměť pro `train_feature_count` deskriptorů.

---

```
void AllocatePCADescriptors();
```

---

<sup>4</sup>Inverse Compositional

<sup>5</sup>Hyperplane approximation

Naalokuje paměť pro PCA deskriptory.

---

```
Size GetPatchSize();
```

Vrátí velikost každé obrázkové plochy.

---

```
int GetPoseCount();
```

Vrátí počet póz pro každý deskriptor.

---

```
int GetPyrLevels();
```

Vrátí počet pyramidových úrovní.

---

```
void CreateDescriptorsFromImage(IplImage* src, const  
vector<KeyPoint>& features);
```

Vytvoří deskriptory pro každý vstupní význačný bod.

**src** Vstupní obrázek

**features** Vektor význačných bodů

---

```
void CreatePCADescriptors();
```

Vytvoří PCA deskriptory potřebné pro generaci deskriptorů význačných bodů.

---

```
const OneWayDescriptor* GetDescriptor(int desc_idx) const;
```

Vrátí deskriptor význačného rysu na indexu `desc_idx`.

---

```
void FindDescriptor(IplImage* patch, int& desc_idx, int&  
pose_idx, float& distance) const;
```

Najde nejbližší deskriptor v obrázku `patch`.

**patch** Vstupní plocha obrázku

**desc\_idx** Výstupní index nejbližšího deskriptoru

**pose\_idx** Výstupní index pózy nejbližšího deskriptoru

**distance** Vzdálenost nalezené pózy od vstupní plochy

---

```
void FindDescriptor(IplImage* src, Point2f pt, int& desc_idx,  
int& pose_idx, float& distance) const;
```

Najde nejbližší deskriptor v obrázku `patch`.

**src** Vstupní obrázek

**pt** Středový bod význačného bodu

**desc\_idx** Výstupní index nejbližšího deskriptoru

**pose\_idx** Výstupní index pózy nejbližšího deskriptoru

**distance** Vzdálenost nalezené pózy od vstupní plochy

---

```
void InitializePoses();
```

Vygeneruje náhodné pózy

---

```
void InitializeTransformsFromPoses();
```

Vygeneruje afinní matice pro pózy

---

```
void InitializePoseTransforms();
```

Zavolá metody `InitializePoses` a `InitializeTransformsFromPoses`.

---

```
void InitializeDescriptor(int desc_idx, IplImage*  
    train_image, const char* feature_label);
```

Inicializuje deskriptor.

**desc\_idx** Index deskriptoru

**train\_image** Plocha obrázku

**feature\_label** Jméno deskriptoru

---

```
void InitializeDescriptors(IplImage* train_image, const  
    vector<KeyPoint>& features, const char* feature_label =  
    "", int desc_start_idx = 0);
```

Inicializuje deskriptory pro každý z předaných význačných bodů.

**train\_image** Trénovací obrázek

**features** Plocha obrázku

**feature\_label** Jméno deskriptorů

**desc\_start\_idx** Začátek indexace deskriptorů

---

```
int LoadPCADescriptors(const char* filename);
```

Načte PCA deskriptory ze souboru `filename`.

---

```
void SavePCADescriptors(const char* filename);
```

Uloží deskriptory do souboru `filename`.

---

```
void SetPCAHigh(CvMat* avg, CvMat* eigenvectors);
```

Nastaví největší rozlišení pro PCA matice.

---

```
void SetPCALow(CvMat* avg, CvMat* eigenvectors);
```

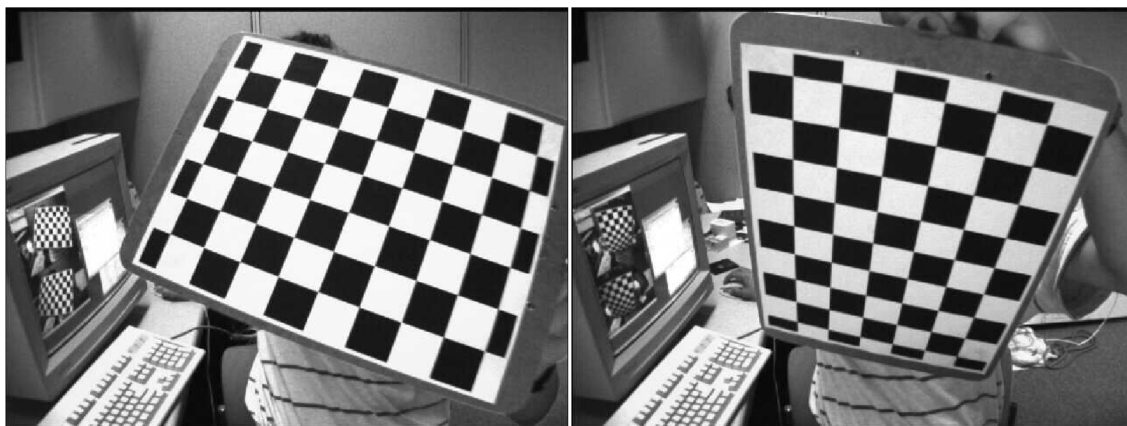
Nastaví nejmenší rozlišení pro PCA matice.

## 6.2 Příklad použití

Protože by byl příklad použití značně složitý, rozhodl jsem se postup, jakým lze *One-way descriptor* použít, popsat pouze slovně v jednotlivých bodech. Při popisu v závorkách uvádím korespondující řádky kódu vzorového příkladu VICTORA ERUHIMOVA, který lze nalézt v příloze B.

### Trénovací fáze

Jak jsem již uvedl v popisu algoritmu, samotnému běhu předchází fáze trénování, ve které je potřeba vygenerovat PCA deskriptory ze sady trénovacích obrázků 6.1 (228–253):



Obrázek 6.1: Ukázka trénovacích obrázků převzatá z příkladů knihovny OpenCV 2.1.

1. Vygeneruje PCA význačné rysy jak pro největší rozlišení PCA matice (232), tak pro nejmenší rozlišení (236), kde je brána plocha o poloviční velikosti.
  - Načte PCA význačné rysy z trénovacích obrázků (176–219)
    - Pro všechny trénovací obrázky detekuje význačné body, např. pomocí algoritmu SURF (188–190)
    - Pro každý detekovaný význačný bod vytvoří plochu obsahující ve středu tento význačný bod (193–213)

- Spočítá PCA význačné rysy (140–173)
  - Vytvoří matici pro data (147), do které postupně zapíše hodnoty všech ploch (152–162)
  - Z této matice spočítá vektor průměrných PCA hodnot a také PCA eigenvektory pomocí funkce (165)
  - Uloží PCA význačné rysy do souboru (169)
- 2. Zkonstruuje objekt `OneWayDescriptorBase` (240)
- 3. Nastaví největší/nejmenší rozlišení pro PCA tak, aby používalo již vygenerované soubory (241–242)
- 4. Vytvoří PCA deskriptory, které uloží do souboru (245–247)

### **Detekční fáze**

Běh aplikace poté vypadá následovně (56–87):

1. V prvním obrázku jsou detekovány význačné body, např. algoritmem SURF (58–59)
2. Je vytvořen objekt `OneWayDescriptorBase`, přičemž jako parametry jsou mu dány PCA soubory vytvořené v trénovací fázi. (65)
3. Vytvoří deskriptory z obrázku pomocí metody `CreateDescriptorsFromImage` (66)
4. Detekuje význačné body v druhém obrázku stejným algoritmem jako u prvního obrázku. (70–71)
5. Pro všechny detekované body u druhého obrázku najde odpovídající význačné body z prvního obrázku pomocí metody `FindDescriptor`. (79–84)
6. Nakonec vykreslí podobnosti nalezené podobnosti. (87)



Obrázek 6.2: Výstupní obrázek one-way deskriptoru znázorňující korespondující význačné body.

## Kapitola 7

# Návrh a implementace

Tato kapitola pojednává o návrhu a implementaci demonstračních příkladů k dokumentovaným funkcím. Je zde také uvedeno základní ovládání aplikací.

Při tvorbě aplikace byly použity programovací jazyky *C* a *C++*. Dále byla použita knihovna OpenCV[8], která poskytuje nejen mnou dokumentované metody, ale i funkce pro jednoduchý přístup k obrazovým datům.

Mým úkolem bylo vytvořit programy, které budou používat identifikované metody, přičemž jsem se rozhodl vytvořit pro každou metodu jeden program, který demonstruje její základní použití.

### 7.1 Návrh demo aplikace

Jelikož je moje práce zaměřena na detektory, popř. deskriptory význačných bodů, jevílo se mi jako logické vytvořit jednu společnou kostru aplikace pro všechny metody.

Protože se jedná o tutoriál, který by měl usnadnit první použití algoritmů uživatelům, byl hlavní důraz kladen na jednoduchost aplikace. Aplikace se skládá ze dvou oken, přičemž po startu aplikace je zobrazeno pouze okno na obrázku 7.1, které zobrazuje základní pokyny pro práci s aplikací a trackbary. Pomocí trackbarů lze nastavit všechny parametry volané metody. Teprve po stisknutí tlačítka **Enter** pro výpočet algoritmu je zobrazeno druhé okno, které zobrazuje výsledný obrázek. Do konzole je také současně vypsána informace o době výpočtu metody.

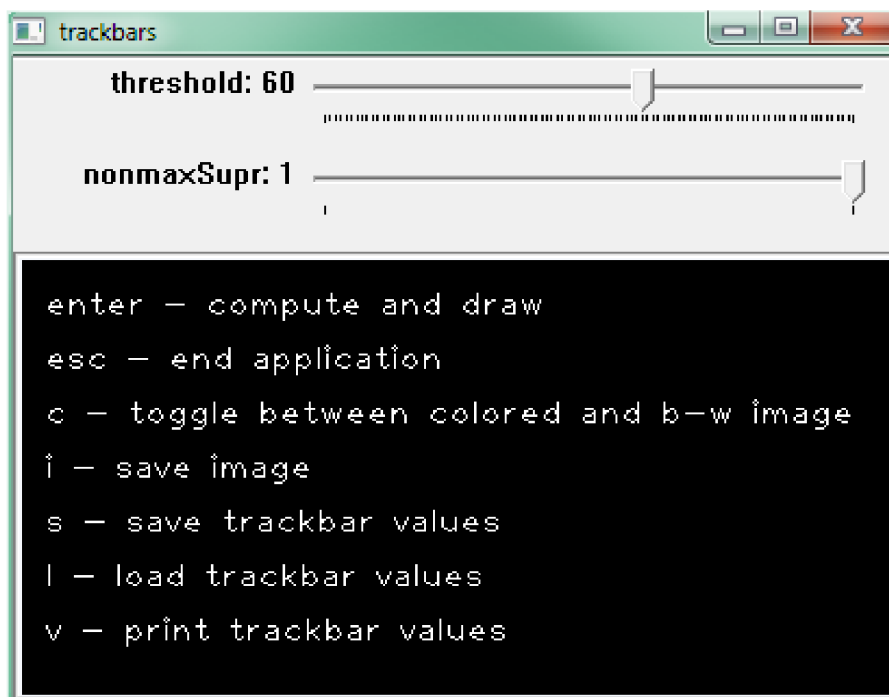
Jelikož některé parametry nabývají velice vysokých hodnot, bylo by značně nevhodné vytvářet trackbary, na kterých by bylo možné nastavit všechny tyto hodnoty. Z tohoto důvodu je číslo indikující stav trackbaru v aplikaci pouze orientační a skutečná hodnota parametru předávaná metodě je zobrazena při stisku klávesy **V**.

### 7.2 Ovládání programu

Program lze ovládat pomocí stisku kláves, přičemž interaguje pouze na klávesy vypsané v základním okně 7.1. Základní ovládání všech aplikací vypadá následovně:

**Enter** Provede výpočet metody s hodnotami předem nastavených trackbarů a zobrazí výsledný obrázek. V případě, že se během výpočtu vyskytla chyba, je vypsána do konzolového okna.

**Esc** Ukončí aplikaci.



Obrázek 7.1: Základní okno s ovládáním aplikace pro algoritmus FAST

- C** Přepíná mezi načítáním obrázku jako barevného nebo gray-scale.
- I** Uloží obrázek do souboru, jehož název zadá uživatel po výzvě do konsolového okna.
- S** Uloží nastavení parametrů aplikace do XML/YAML souboru, jehož jméno zadá uživatel po výzvě do konsolového okna.
- L** Načte nastavení parametrů aplikace z XML/YAML souboru, jehož jméno zadá uživatel po výzvě do konsolového okna.
- V** Vypíše nastavení parametrů aplikace do konsolového okna.

### 7.3 Popis jednotlivých demo aplikací

Ač byla kostra aplikace navržena stejně pro všechny metody, jsou výsledné aplikace více či méně odlišné. U každé z metod je uveden stručný popis trackbarů a jejich vliv na detekci. V případě, že aplikace interaguje navíc na některou další klávesu, je tato skutečnost také uvedena. Aplikace se spouštějí z příkazového řádku, přičemž mají jeden povinný parametr, který udává jméno vstupního obrázku. Výjimku tvoří aplikace One-way deskriptor s dvěma povinnými parametry obrázků, ve kterých bude metoda detekovat vzájemné podobnosti elementů.

#### **FAST corner detector**

Demonstrační aplikace FAST detektoru je jednou z nejjednodušších, jelikož obsahuje pouze dva trackbary. Na prvním lze nastavit práh detekce a druhý slouží k zapnutí/vypnutí funkce potlačení blízkých bodů. Ostatně právě tato aplikace je zobrazena na obrázku [7.1](#).



Je vhodné FAST detektor používat s aktivovaným potlačením blízkých bodů, jelikož snížení rychlosti detektoru není nikterak výrazné. Optimální hodnota prahu je velice variabilní a závisí na konkrétním obrázku. Detekci lze spustit pouze na **gray-scale obrázku**.

### Maximally stable extremal regions

V MSER aplikaci lze nastavit všechny parametry konstruktoru, které jsou popsány v 3.3. Trackbary parametrů `_max_evolution`, `_area_threshold`, `_min_margin` a `_edge_blur_size` jsou zobrazeny pouze při detekci regionů v barevném obrázku, jelikož při gray-scale detekci nemají žádný vliv. Tato aplikace reaguje navíc na stisk klávesy **T**, která volí způsob interpretace detekovaných regionů. Implementováno je obarvení pixelů patřících jednomu regionu stejnou, náhodně generovanou barvou a taktéž aproximace regionů pomocí elips.

### LDetector

V aplikaci znázorňující práci LDetectoru jsou zobrazeny trackbary pro nastavení všech parametrů konstruktoru a také trackbar pro nastavení maximálního počtu detekovaných bodů `maxCount`. Pomocí klávesy **T** lze přepínat mezi metodami `getMostStable2D` a `operator`. Při zvolení metody `operator` je zobrazen přepínač `scaleCoords`, jenž určuje, zda bude pozice detekovaného bodu mapována zpět do původního obrázku v závislosti na měřítku pyramid, ve které byl bod detekován. Tuto vlastnost je výhodné mít aktivovanou.

### HOG people and object detector

Demonstrační aplikace HOG detektoru znázorňuje použití metody `detectMultiScale` a vliv nastavení všech parametrů této metody při detekci osob v obraze. Objekt `HOGDescriptor` je konstruován s defaultními parametry uvedenými v 5.1. Zajímavé výsledky vykazuje kombinace parametrů `scale`, který udává míru zmenšování obrázku, a `groupThreshold`, jenž naopak sjednocuje podobné detekované obdélníky v jednotlivých měřítcích obrázku. Pro detekci osob v obraze je nutné mít parametr `hitThreshold` nastavený na 0.

### One-way descriptor

Aplikace znázorňující použití One-way deskriptoru je schopna vyhledat podobnost vzájemných elementů ve dvou zadaných obrázcích. V aplikaci lze nastavit velikost plochy kolem jednotlivých význačných bodů, ze které budou získávány one-way deskriptory a dále také počet póz (afinních transformací), jenž budou použity na každou z ploch při tvorbě deskriptorů. Posledním parametrem, kterým lze ovlivnit výstupní obrázek, je přesnost SURF algoritmu, jenž je použit pro detekci význačných bodů před samotnou klasifikací.

Ke korektnímu běhu aplikace je nutné mít ve shodném adresáři i dva trénovací obrázky, jejichž pojmenování musí být, `one_way_train_0000.jpg` a `one_way_train_0001.jpg`. Trénování je prováděno pouze při prvním spuštění aplikace. Výstupem jsou soubory `pca_descriptors.yml`, `pca_hr.yml` a `pca_lr.yml`. Při dalším spuštění jsou tyto soubory upřednostněny před novým trénováním deskriptorů. Jelikož musí velikost plochy i počet póz odpovídat, je tato skutečnost před samotným spuštěním detekce zkontrolována. V případě nesouhlasu některého z hodnot je vypsáno varování do konsolového okna. Na toto lze reagovat dvěma způsoby: Buď můžeme změnit nastavení trackbarů aplikace tak, aby odpovídalo hodnotám v souborech. Pokud ale trváme na námi zadaném nastavení, je nutno

vymazat všechny tři YAML soubory uvedené výše. Teprve poté je korektně spuštěno nové trénování deskriptorů.

Tato aplikace vychází z vzorového příkladu One-way deskriptoru OpenCV, který je také uveden v příloze **B**.

# Kapitola 8

## Závěr

Cílem této bakalářské práce bylo identifikovat a popsat základní činnosti při práci s knihovnou OpenCV a vytvořit příklady, které budou používat identifikované operace. Na základě těchto zkušeností také vytvořit tutoriál, který umístit na web.

Po konzultaci s vedoucím mé bakalářské práce jsem se rozhodl věnovat nezdokumentovaným metodám, které přibýly v knihovně OpenCV s vydáním její verze 2.0 v září roku 2009. Nacházelo se zde mnoho zajímavých metod, které však bylo velice těžké použít. Má práce tedy z největší části spočívala v analýze zdrojových kódů těchto metod a různými experimenty s nimi.

Podářilo se mi zdokumentovat celkem 5 metod, které jsou uvedeny v kapitolách 2–6, přičemž výstupy detektorů jsou zobrazeny na obrázku získaného z [1]. Pro každou z těchto metod jsem také vytvořil aplikaci, demonstrující její základní použití. Na těchto aplikacích si může uživatel odzkoušet vliv nastavení klíčových parametrů na funkčnost metody. Nastavení parametrů lze uložit do XML či YAML souboru, což je vhodné zejména pro uchování optimální konfigurace metod. Podrobnější popis aplikace lze nalézt v kapitole 7.

Jako základ pro tutoriál na webu jsem se rozhodl použít DokuWiki[5]. Webové stránky obsahují stejně jako tato bakalářská práce pro každou metodu popis činnosti, deklaraci metod a princip použití. Navíc lze u každé z metod stáhnout její přeloženou demonstrační aplikaci, či zdrojové kódy. Výsledné webové stránky lze nalézt na adrese <http://www.stud.fit.vutbr.cz/~xbehal01/opencv/>.

Knihovna OpenCV je nepřetržitě rozšiřována, což s sebou přináší i stále nové algoritmy bez patřičné dokumentace. Nyní je aktuální dubnová verze 2.1, ve které sice přibyl příklad pro práci s One-way deskriptorem diskutovaným v kapitole 6, většina metod však bohužel zůstala dále nezdokumentována. Kompletní seznam změn lze nalézt na oficiálních stránkách knihovny<sup>1</sup>.

Dalším pokračováním by logicky mělo být rozšíření tutoriálu o další algoritmy spolu s jejich demonstračními příklady. Dále by bylo vhodné vytvořit anglickou verzi stránek, což by usnadnilo získávání informací cizím uživatelům.

---

<sup>1</sup><http://opencv.willowgarage.com/wiki/OpenCV%20Change%20Logs>

# Literatura

- [1] Robotics Research Group. 2009, [Online; navštíveno 30. 4. 2010].  
URL <http://www.robots.ox.ac.uk/~vgg/data/data-aff.html>
- [2] Bradski, G.; Kaehler, A.: *Learning OpenCV: Computer Vision with the OpenCV Library*. O'Reilly Media, první vydání, September 2008, ISBN 0596516134.  
URL <http://www.worldcat.org/isbn/0596516134>
- [3] Dalal, N.; Triggs, B.: Histograms of Oriented Gradients for Human Detection. In *CVPR '05: Proceedings of the 2005 IEEE Computer Society Conference on Computer Vision and Pattern Recognition (CVPR'05) - Volume 1*, ročník 1, Washington, DC, USA: IEEE Computer Society, 2005, ISBN 0-7695-2372-2, ISSN 1063-6919, s. 886–893.  
URL <http://lear.inrialpes.fr/people/triggs/pubs/Dalal-cvpr05.pdf>
- [4] Forssen, P.: Maximally Stable Colour Regions for Recognition and Matching. In *CVPR07*, 2007, s. 1–8.  
URL [http://www.cs.ubc.ca/~perfo/papers/forssen\\_cvpr07.pdf](http://www.cs.ubc.ca/~perfo/papers/forssen_cvpr07.pdf)
- [5] Gohr, A.: DokuWiki. 2004–2010.  
URL <http://www.dokuwiki.org/>
- [6] Hinterstoisser, S.; Benhimane, S.; Navab, N.; aj.: Online learning of patch perspective rectification for efficient object detection. In *2008 IEEE Conference on Computer Vision and Pattern Recognition*, IEEE, June 2008, ISBN 978-1-4244-2242-5, s. 1–8.  
URL <http://campar.in.tum.de/pub/hinterstoisser2008leopar/hinterstoisser2008leopar.pdf>
- [7] Hinterstoisser, S.; Kutter, O.; Navab, N.; aj.: Real-time learning of accurate patch rectification. *Computer Vision and Pattern Recognition, IEEE Computer Society Conference on*, ročník 0, 2009: s. 2945–2952.  
URL <http://cvlab.epfl.ch/publications/publications/2009/Fua,L09.pdf>
- [8] Intel: OpenCV (Open Source Computer Vision) Library. 2007.  
URL <http://opencv.willowgarage.com>
- [9] Lepetit, V.; Fua, P.: Towards Recognizing Feature Points using Classification Trees. *Technická zpráva*, 2004.  
URL [http://cvlab.epfl.ch/~vlepetit/papers/lepetit\\_tr04.pdf](http://cvlab.epfl.ch/~vlepetit/papers/lepetit_tr04.pdf)
- [10] Matas, J.; Chum, O.; Martin, U.; aj.: Robust wide baseline stereo from maximally stable extremal regions. In *Proceedings of British Machine Vision Conference*,

London, 2002, s. 384–393.

URL <http://cmp.felk.cvut.cz/~matas/papers/matas-bmvc02.pdf>

- [11] Rosten, E.; Drummond, T.: Machine learning for high-speed corner detection. In *In European Conference on Computer Vision*, ročník 1, 2006, s. 430–443.  
URL <http://citeseerx.ist.psu.edu/viewdoc/download;jsessionid=8CD599B91155F67C5E6D9B8F966F045D?doi=10.1.1.60.3991&rep=rep1&type=pdf>
- [12] Rosten, E.; Porter, R.; Drummond, T.: Faster and Better: A Machine Learning Approach to Corner Detection. *Pattern Analysis and Machine Intelligence, IEEE Transactions on*, ročník 32, č. 1, November 2008: s. 105–119.  
URL [http://mi.eng.cam.ac.uk/~er258/work/rosten\\_2008\\_faster.pdf](http://mi.eng.cam.ac.uk/~er258/work/rosten_2008_faster.pdf)
- [13] Wikipedia: Corner detection — Wikipedia, The Free Encyclopedia. 2010, [Online; navštíveno 15. 4. 2010].  
URL [http://en.wikipedia.org/w/index.php?title=Corner\\_detection&oldid=355117801](http://en.wikipedia.org/w/index.php?title=Corner_detection&oldid=355117801)
- [14] Wikipedia: Histogram of oriented gradients — Wikipedia, The Free Encyclopedia. 2010, [Online; navštíveno 27. 4. 2010].  
URL [http://en.wikipedia.org/w/index.php?title=Histogram\\_of\\_oriented\\_gradients&oldid=354614327](http://en.wikipedia.org/w/index.php?title=Histogram_of_oriented_gradients&oldid=354614327)
- [15] Wikipedia: Maximally stable extremal regions — Wikipedia, The Free Encyclopedia. 2010, [Online; navštíveno 12. 4. 2010].  
URL [http://en.wikipedia.org/w/index.php?title=Maximally\\_stable\\_extremal\\_regions&oldid=350349421](http://en.wikipedia.org/w/index.php?title=Maximally_stable_extremal_regions&oldid=350349421)
- [16] Wojek, C.; Schiele, B.: A Performance Evaluation of Single and Multi-feature People Detection. In *DAGM-Symposium*, 2008, s. 82–91.  
URL <http://www.mis.tu-darmstadt.de/sites/default/files/wojek08dagma.pdf>

## Příloha A

# Dokumentace tříd OneWayDescriptor a OneWayDescriptorObject

### A.1 Třída OneWayDescriptor

Třída `OneWayDescriptor` zahrnuje deskriptor pro jeden bod.

---

```
OneWayDescriptor();
```

---

```
void Allocate(int pose_count, Size size, int nChannels);
```

Alokuje paměť pro deskriptor s danými parametry.

**pose\_count** Počet póz

**size** Velikost

**nChannels** Počet kanálů obrázku

---

```
void GenerateSamples(int pose_count, IplImage* frontal, int  
norm = 0);
```

Vygeneruje afinně transformované plochy, jejichž hodnota bude tvořena zprůměrováním všech transformačních změn. Pokud jsou specifikovány transformace, použije je místo náhodně generovaných.

**pose\_count** Počet póz, které bude generovat

**frontal** Vstupní obrázek

**norm** Pokud je nenulový, provede normalizaci výstupních ploch tak, aby součet intenzit pixelů byl 1

---

```
void GenerateSamplesFast(IplImage* frontal, CvMat*
    pca_hr_avg, CvMat* pca_hr_eigenvectors, OneWayDescriptor*
    pca_descriptors);
```

Vygeneruje afinně transformované plochy, jejichž hodnota bude tvořena zprůměrováním všech transformačních změn, přičemž použije předpočítané transformované PCA složky.

**frontal** Vstupní obrázek

**pca\_hr\_avg** Vektor průměrných PCA hodnot

**pca\_hr\_eigenvectors** Pca eigenvektory

**pca\_descriptors** Pole předpočítaných deskriptorů PCA složek, obsahující jejich afinní transformace. První je deskriptor vektoru průměrných hodnot. Zbytek vektorů odpovídá eigenvektorům.

---

```
void SetTransforms(AffinePose* poses, CvMat** transforms);
```

Nastaví pózy a odpovídající transformace

**poses** pózy

**transforms** transformace

---

```
void Initialize(int pose_count, IplImage* frontal, const
    char* feature_name = 0, int norm = 0);
```

Vytvoří deskriptor

**pose\_count** Počet póz. Pokud byly pózy nastaveny externě, použije předem nastavené místo náhodně generovaných

**frontal** Vstupní obrázek

**feature\_name** Jméno deskriptoru

**norm** Pokud je nenulový, provede normalizaci výstupních ploch tak, aby součet intenzit pixelů byl 1

---

```
void InitializeFast(int pose_count, IplImage* frontal, const
    char* feature_name, CvMat* pca_hr_avg, CvMat*
    pca_hr_eigenvectors, OneWayDescriptor* pca_descriptors);
```

Vytvoří deskriptor, přičemž použije předpočítané deskriptory PCA složek

**pose\_count** Počet póz.

**frontal** Vstupní obrázek

**feature\_name** Jméno deskriptoru

**pca\_hr\_avg** Vektor průměrných PCA hodnot

**pca\_hr\_eigenvectors** Pca eigenvektory

**pca\_descriptors** Pole předpočítaných deskriptorů PCA složek obsahující jejich afinní transformace. První je deskriptor vektoru průměrných hodnot. Zbytek vektorů odpovídá eigenvektorům.

---

```
void ProjectPCASample(IplImage* patch, CvMat* avg, CvMat*  
    eigenvectors, CvMat* pca_coeffs) const;
```

Normalizuje obrazovou plochu do vektoru, který promítne do PCA prostoru

**patch** Vstupní obrazová plocha

**avg** PCA vektor průměrných hodnot

**eigenvectors** PCA eigenvektory

**pca\_coeffs** Výstupní PCA koeficienty

---

```
void InitializePCACoeffs(CvMat* avg, CvMat* eigenvectors);
```

Promítne všechny pokřivené plochy do PCA prostoru

**avg** PCA vektor průměrných hodnot

**eigenvectors** Výstupní PCA koeficienty

---

```
void EstimatePose(IplImage* patch, int& pose_idx, float&  
    distance) const;
```

Najde největší podobnost mezi vstupní plochou a sadou odlišných ploch s jinými pohledy.

**patch** Vstupní obrazová plocha

**pose\_idx** Výstupní index nejbližší pózy

**distance** Vzdálenost k nejbližší póze

---

```
void EstimatePosePCA(IplImage* patch, int& pose_idx, float&  
    distance, CvMat* avg, CvMat* eigenvalues) const;
```

Najde největší podobnost mezi vstupní plochou a sadou odlišných ploch s jinými pohledy.

**patch** Vstupní obrazová plocha

**pose\_idx** Výstupní index nejbližší pózy

**distance** Vzdálenost k nejbližší póze



**avg** PCA vektor průměrných hodnot

**eigenvalues** PCA eigenvektory

---

```
Size GetPatchSize() const;
```

Vrátí velikost každé obrázkové plochy po deformaci.

---

```
Size GetInputPatchSize() const;
```

Vrátí požadovanou velikost plochy, ze které byl deskriptor sestaven.

---

```
IplImage* GetPatch(int index);
```

Vrátí plochu odpovídající póze na indexu `index`.

---

```
AffinePose GetPose(int index) const;
```

Vrátí pózu odpovídající póze na indexu `index`.

---

```
void Save(const char* path);
```

Uloží všechny plochy s odlišnými pózami na cestu `path`.

---

```
int ReadByName(CvFileStorage* fs, CvFileNode* parent, const char* name);
```

Načte deskriptor z FileStorage. Vrací 1 pokud se operace podařila, jinak 0.

**fs** Jméno souboru

**parent** Jméno otcovského uzlu

**name** Jméno uzlu

---

```
void Write(CvFileStorage* fs, const char* name);
```

Zapíše deskriptor do FileStorage.

**fs** Jméno souboru

**name** Jméno uzlu

---

```
const char* GetFeatureName() const;
```

Vrátí jméno odpovídající význačnému rysu.

---

```
Point GetCenter() const;
```

Vrátí středový bod význačného rysu.

---

```
void SetPCADimHigh(int pca_dim_high);
```

Nastaví počet PCA složek pro generaci afinních trasformací na `pca_dim_high`.

---

```
void SetPCADimLow(int pca_dim_low);
```

Nastaví počet PCA složek složících k porovnávání na `pca_dim_low`.

## A.2 Třída `OneWayDescriptorObject`

Třída `OneWayDescriptorObject` zahrnuje stejnou funkcionalitu jako třída `OneWayDescriptorBase`, popsaná v sekci 6.1, má však odlišný konstruktor a navíc tyto metody:

---

```
OneWayDescriptorObject(Size patch_size, int pose_count, const
char* train_path, const char* pca_config, const char*
pca_hr_config = 0, const char* pca_desc_config = 0, int
pyr_levels = 2);
```

Vytvoří instanci třídy `OneWayDescriptorObject` ze souboru trénovacích souborů.

**patch\_size** Velikost vstupních ploch

**pose\_count** Počet póz, které se budou generovat pro každý detektor

**train\_path** Cesta k trénovacím souborům

**pca\_config** Jméno souboru, který obsahuje PCA pro malé plochy.

**pca\_hr\_config** Jméno souboru, který obsahuje PCA pro velké plochy.(velikosti vstupních ploch)

**pca\_desc\_config** Jméno souboru, který obsahuje deskriptory PCA složek

**pyr\_levels** Úroveň pyramid generovaných z obrázku

---

```
void Allocate(int train_feature_count, int
object_feature_count);
```

Naalokuje paměť pro `object_feature_count` deskriptorů.

---

```
void SetLabeledFeatures(const vector<KeyPoint>& features);
```

Nastaví vnitřní reprezentaci význačných bodů na `features`.

---

```
vector<KeyPoint>& GetLabeledFeatures();
```

Vrátí vektor význačných bodů.

---

```
const vector<KeyPoint>& GetLabeledFeatures();
```

Vrátí konstantní vektor význačných bodů.

---

```
int IsDescriptorObject(int desc_idx) const;
```

Vrací 1, pokud existuje deskriptor na indexu `desc_idx`.

---

```
int MatchPointToPart(Point pt) const;
```

Vrací index význačného rysu. V případě, že zadanému bodu neodpovídá žádný význačný rys, vrací -1.

---

```
int GetDescriptorPart(int desc_idx) const;
```

Vrací id deskriptoru na indexu `desc_idx`.

---

```
const vector<KeyPoint>& GetTrainFeatures();
```

Vrací konstantní set trénovacích význačných bodů.

---

```
vector<KeyPoint> _GetTrainFeatures() const;
```

Vrací set trénovacích význačných bodů.

---

```
void InitializeObjectDescriptors(IplImage* train_image, const  
vector<KeyPoint>& features, const char* feature_label, int  
desc_start_idx = 0, float scale = 1.0f);
```

Inicializuje deskriptory pro každý z předaných význačných bodů.

**train\_image** Trénovací obrázek

**features** Plocha obrázku

**feature\_label** Jméno deskriptorů

**desc\_start\_idx** Začátek indexace deskriptorů

**scale** Měřítko

## Příloha B

# Zdrojový kód použití One-way deskriptoru

Zdrojový kód včetně trénovacích a testovacích obrázků lze nalézt ve vzorových příkladech knihovny *OpenCV 2.1*.

```
1 /*
2  *   one_way_sample.cpp
3  *   outlet_detection
4  *
5  *   Created by Victor Eruhimov on 8/5/09.
6  *   Copyright 2009 Argus Corp. All rights reserved.
7  *
8  */
9
10 #include <cv.h>
11 #include <cvaux.h>
12 #include <highgui.h>
13
14 #include <string>
15
16 using namespace cv;
17
18 IplImage* DrawCorrespondences(IplImage* img1, const
19     vector<KeyPoint>& features1, IplImage* img2, const
20     vector<KeyPoint>& features2, const vector<int>& desc_idx);
21 void generatePCADescriptors(const char* img_path, const char*
22     pca_low_filename, const char* pca_high_filename, const
23     char* pca_desc_filename, CvSize patch_size);
24
25 int main(int argc, char** argv)
26 {
27     const char pca_high_filename[] = "pca_hr.yml";
28     const char pca_low_filename[] = "pca_lr.yml";
29     const char pca_desc_filename[] = "pca_descriptors.yml";
30     const CvSize patch_size = cvSize(24, 24);
```

```

27     const int pose_count = 50;
28
29     if(argc != 3 && argc != 4)
30     {
31         printf("Format: \n./one_way_sample [path_to_samples]
32             [image1] [image2]\n");
33         printf("For example: ./one_way_sample
34             ../../../../opencv/samples/c scene_l.bmp
35             scene_r.bmp\n");
36         return 0;
37     }
38
39     std::string path_name = argv[1];
40     std::string img1_name = path_name + "/" +
41         std::string(argv[2]);
42     std::string img2_name = path_name + "/" +
43         std::string(argv[3]);
44
45     CvFileStorage* fs = cvOpenFileStorage("pca_hr.yml", NULL,
46         CV_STORAGE_READ);
47     if(fs == NULL)
48     {
49         printf("PCA data is not found, starting
50             training...\n");
51         generatePCADescriptors(path_name.c_str(),
52             pca_low_filename, pca_high_filename,
53             pca_desc_filename, patch_size);
54     }
55     else
56     {
57         cvReleaseFileStorage(&fs);
58     }
59
60     printf("Reading the images...\n");
61     IplImage* img1 = cvLoadImage(img1_name.c_str(),
62         CV_LOAD_IMAGE_GRAYSCALE);
63     IplImage* img2 = cvLoadImage(img2_name.c_str(),
64         CV_LOAD_IMAGE_GRAYSCALE);
65
66     // extract keypoints from the first image
67     vector<KeyPoint> keypoints1;
68     SURF surf_extractor(5.0e3);
69     // printf("Extracting keypoints\n");
70     surf_extractor(img1, Mat(), keypoints1);
71     printf("Extracted %d keypoints...\n",
72         (int)keypoints1.size());
73

```

```

63     printf("Training one way descriptors...");
64     // create descriptors
65     OneWayDescriptorBase descriptors(patch_size, pose_count,
        ".", pca_low_filename, pca_high_filename,
        pca_desc_filename);
66     descriptors.CreateDescriptorsFromImage(img1, keypoints1);
67     printf("done\n");
68
69     // extract keypoints from the second image
70     vector<KeyPoint> keypoints2;
71     surf_extractor(img2, Mat(), keypoints2);
72     printf("Extracted %d keypoints from the second
        image...\n", (int)keypoints2.size());
73
74
75     printf("Finding nearest neighbors...");
76     // find NN for each of keypoints2 in keypoints1
77     vector<int> desc_idx;
78     desc_idx.resize(keypoints2.size());
79     for(size_t i = 0; i < keypoints2.size(); i++)
80     {
81         int pose_idx = 0;
82         float distance = 0;
83         descriptors.FindDescriptor(img2, keypoints2[i].pt,
            desc_idx[i], pose_idx, distance);
84     }
85     printf("done\n");
86
87     IplImage* img_corr = DrawCorrespondences(img1,
        keypoints1, img2, keypoints2, desc_idx);
88
89     cvNamedWindow("correspondences", 1);
90     cvShowImage("correspondences", img_corr);
91     cvWaitKey(0);
92
93     cvReleaseImage(&img1);
94     cvReleaseImage(&img2);
95     cvReleaseImage(&img_corr);
96 }
97
98 IplImage* DrawCorrespondences(IplImage* img1, const
    vector<KeyPoint>& features1, IplImage* img2, const
    vector<KeyPoint>& features2, const vector<int>& desc_idx)
99 {
100     IplImage* img_corr = cvCreateImage(cvSize(img1->width +
        img2->width, MAX(img1->height, img2->height)),
        IPL_DEPTH_8U, 3);

```

```

101     cvSetImageROI(img_corr, cvRect(0, 0, img1->width,
102         img1->height));
103     cvCvtColor(img1, img_corr, CV_GRAY2RGB);
104     cvSetImageROI(img_corr, cvRect(img1->width, 0,
105         img2->width, img2->height));
106     cvCvtColor(img2, img_corr, CV_GRAY2RGB);
107     cvResetImageROI(img_corr);
108
109     for(size_t i = 0; i < features1.size(); i++)
110     {
111         cvCircle(img_corr, features1[i].pt, 3, CV_RGB(255, 0,
112             0));
113     }
114
115     for(size_t i = 0; i < features2.size(); i++)
116     {
117         CvPoint pt = cvPoint(features2[i].pt.x + img1->width,
118             features2[i].pt.y);
119         cvCircle(img_corr, pt, 3, CV_RGB(255, 0, 0));
120         cvLine(img_corr, features1[desc_idx[i]].pt, pt,
121             CV_RGB(0, 255, 0));
122     }
123
124     return img_corr;
125 }
126
127 /*
128  *   pca_features
129  *
130  *
131  */
132 void savePCAFeatures(const char* filename, CvMat* avg, CvMat*
133     eigenvectors)
134 {
135     CvMemStorage* storage = cvCreateMemStorage();
136
137     CvFileStorage* fs = cvOpenFileStorage(filename, storage,
138         CV_STORAGE_WRITE);
139     cvWrite(fs, "avg", avg);
140     cvWrite(fs, "eigenvectors", eigenvectors);
141     cvReleaseFileStorage(&fs);
142
143     cvReleaseMemStorage(&storage);
144 }
145
146 void calcPCAFeatures(vector<IplImage*>& patches, const char*
147     filename, CvMat** avg, CvMat** eigenvectors)

```

```

141 {
142     int width = patches[0]->width;
143     int height = patches[0]->height;
144     int length = width*height;
145     int patch_count = (int)patches.size();
146
147     CvMat* data = cvCreateMat(patch_count, length, CV_32FC1);
148     *avg = cvCreateMat(1, length, CV_32FC1);
149     CvMat* eigenvalues = cvCreateMat(1, length, CV_32FC1);
150     *eigenvectors = cvCreateMat(length, length, CV_32FC1);
151
152     for(int i = 0; i < patch_count; i++)
153     {
154         float sum = cvSum(patches[i]).val[0];
155         for(int y = 0; y < height; y++)
156         {
157             for(int x = 0; x < width; x++)
158             {
159                 *((float*)(data->data.ptr + data->step*i) +
160                    y*width + x) = (float)(unsigned char)
161                    patches[i]->imageData[y*patches[i]->widthStep
162                    + x]/sum;
163             }
164         }
165     }
166
167     printf("Calculating PCA...");
168     cvCalcPCA(data, *avg, eigenvalues, *eigenvectors,
169             CV_PCA_DATA_AS_ROW);
170     printf("done\n");
171
172     // save pca data
173     savePCAFeatures(filename, *avg, *eigenvectors);
174
175     cvReleaseMat(&data);
176     cvReleaseMat(&eigenvalues);
177 }
178
179 void loadPCAFeatures(const char* path, vector<IplImage*>&
180 patches, CvSize patch_size)
181 {
182     const int file_count = 2;
183     for(int i = 0; i < file_count; i++)
184     {
185         char buf[1024];
186         sprintf(buf, "%s/one_way_train_%04d.jpg", path, i);
187         printf("Reading image %s...", buf);

```



```

184     IplImage* img = cvLoadImage(buf,
185         CV_LOAD_IMAGE_GRAYSCALE);
186     printf("done\n");
187
188     vector<KeyPoint> features;
189     SURF surf_extractor(1.0f);
190     printf("Extracting SURF features...");
191     surf_extractor(img, Mat(), features);
192     printf("done\n");
193
194     for(int j = 0; j < (int)features.size(); j++)
195     {
196         int patch_width = patch_size.width;
197         int patch_height = patch_size.height;
198
199         CvPoint center = features[j].pt;
200
201         CvRect roi = cvRect(center.x - patch_width/2,
202             center.y - patch_height/2, patch_width,
203             patch_height);
204         cvSetImageROI(img, roi);
205         roi = cvGetImageROI(img);
206         if(roi.width != patch_width || roi.height !=
207             patch_height)
208         {
209             continue;
210         }
211
212         IplImage* patch =
213             cvCreateImage(cvSize(patch_width,
214                 patch_height), IPL_DEPTH_8U, 1);
215         cvCopy(img, patch);
216         patches.push_back(patch);
217         cvResetImageROI(img);
218     }
219
220     printf("Completed file %d, extracted %d features\n",
221         i, (int)features.size());
222
223     cvReleaseImage(&img);
224 }
225
226 void generatePCAFeatures(const char* img_filename, const
227     char* pca_filename, CvSize patch_size, CvMat** avg,
228     CvMat** eigenvectors)
229 {

```

```

223     vector<IplImage*> patches;
224     loadPCAFeatures(img_filename, patches, patch_size);
225     calcPCAFeatures(patches, pca_filename, avg, eigenvectors);
226 }
227
228 void generatePCADescriptors(const char* img_path, const char*
    pca_low_filename, const char* pca_high_filename, const
    char* pca_desc_filename, CvSize patch_size)
229 {
230     CvMat* avg_hr;
231     CvMat* eigenvectors_hr;
232     generatePCAFeatures(img_path, pca_high_filename,
        patch_size, &avg_hr, &eigenvectors_hr);
233
234     CvMat* avg_lr;
235     CvMat* eigenvectors_lr;
236     generatePCAFeatures(img_path, pca_low_filename,
        cvSize(patch_size.width/2, patch_size.height/2),
237         &avg_lr, &eigenvectors_lr);
238
239     const int pose_count = 500;
240     OneWayDescriptorBase descriptors(patch_size, pose_count);
241     descriptors.SetPCAHigh(avg_hr, eigenvectors_hr);
242     descriptors.SetPCALow(avg_lr, eigenvectors_lr);
243
244     printf("Calculating %d PCA descriptors (you can grab a
        coffee, this will take a while)...\\n",
        descriptors.GetPCADimHigh());
245     descriptors.InitializePoseTransforms();
246     descriptors.CreatePCADescriptors();
247     descriptors.SavePCADescriptors(pca_desc_filename);
248
249     cvReleaseMat(&avg_hr);
250     cvReleaseMat(&eigenvectors_hr);
251     cvReleaseMat(&avg_lr);
252     cvReleaseMat(&eigenvectors_lr);
253 }

```